

BASE CIENTÍFICA DEL CAMBIO CLIMÁTICO: IMPACTO REGIONAL EN LA ZONA MEDITERRÁNEA ESPAÑOLA

Doctorat en Medi Ambient – Canvi Climàtic
(Universitat de Girona, 1 de Juliol 2004)

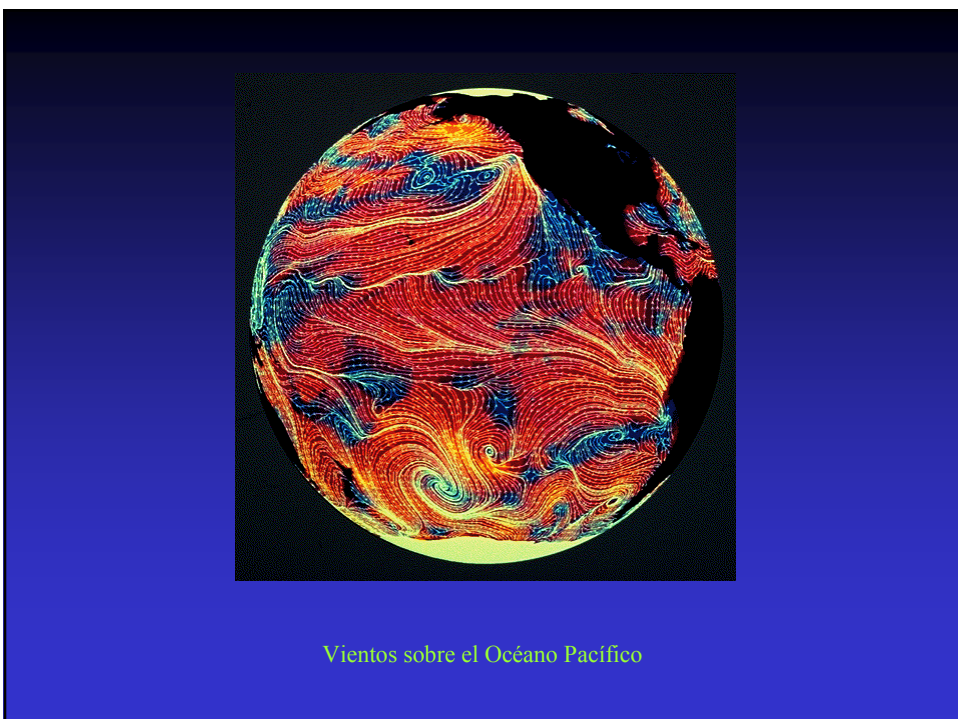
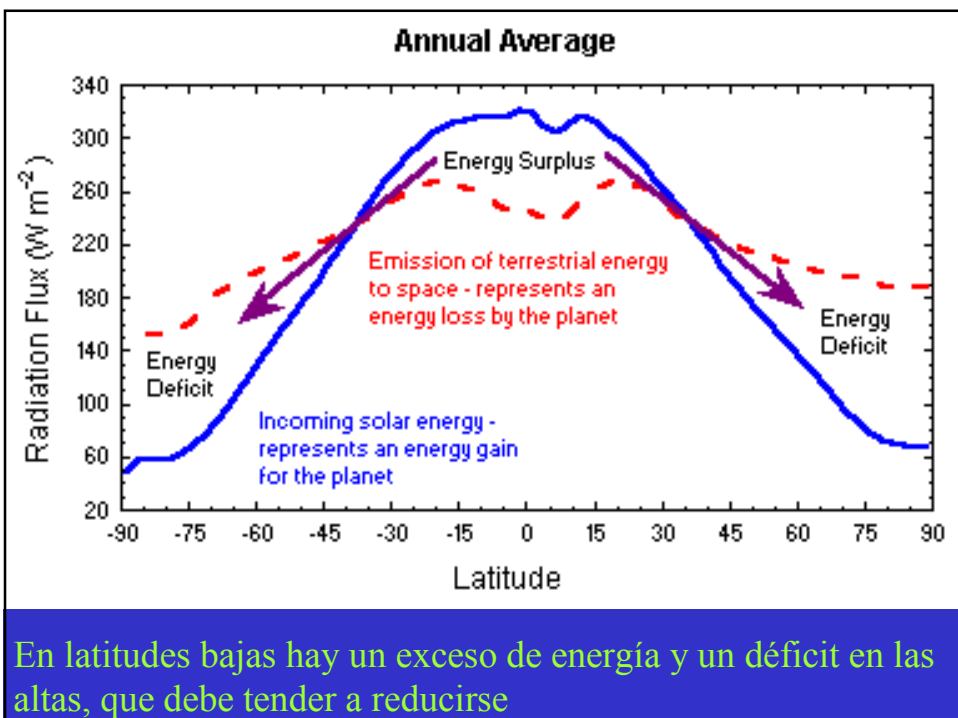
Romu Romero (Sesión 9)

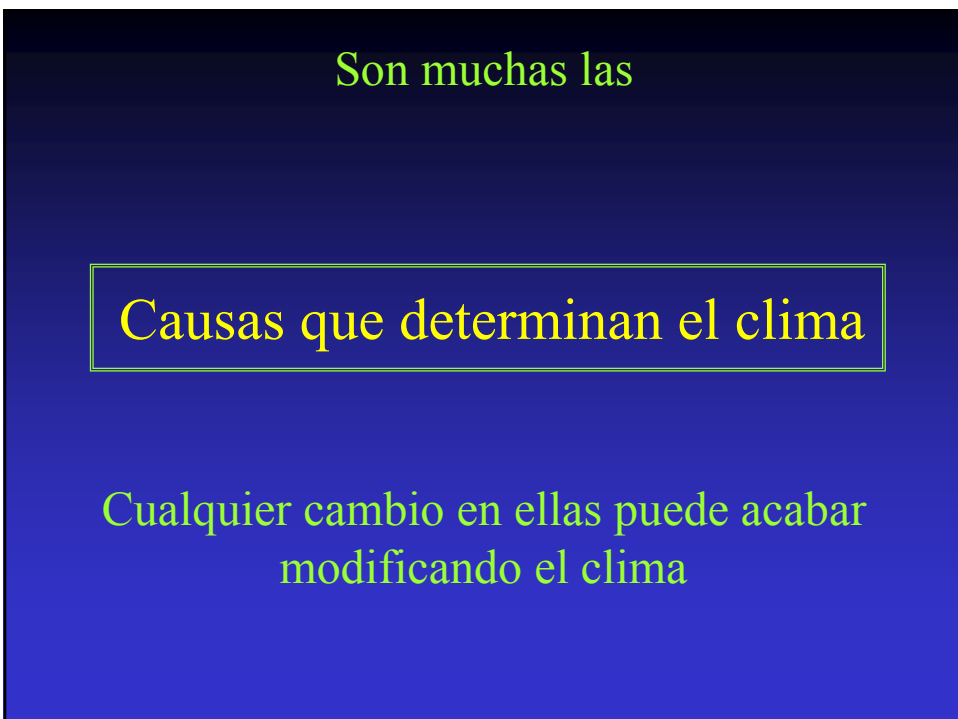


Clima:

Rasgos característicos de las condiciones ambientales
(p.e. temperatura y precipitación)
en intervalos de tiempo ‘largos’

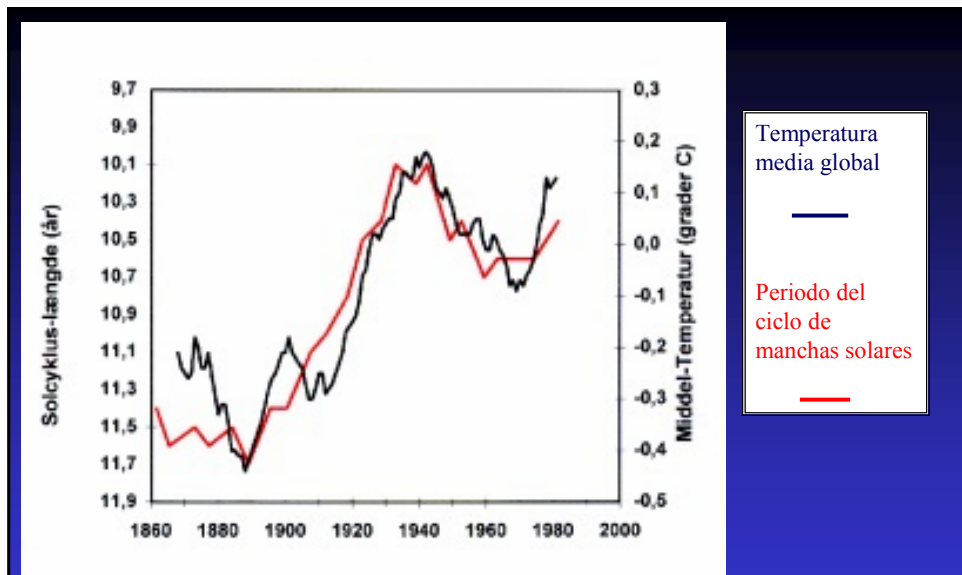
- No sólo valores medios: variabilidad espacial y temporal
- Percepción a través de la atmósfera
- Tratamiento estadístico adecuado de series largas instrumentales de las variables meteorológicas



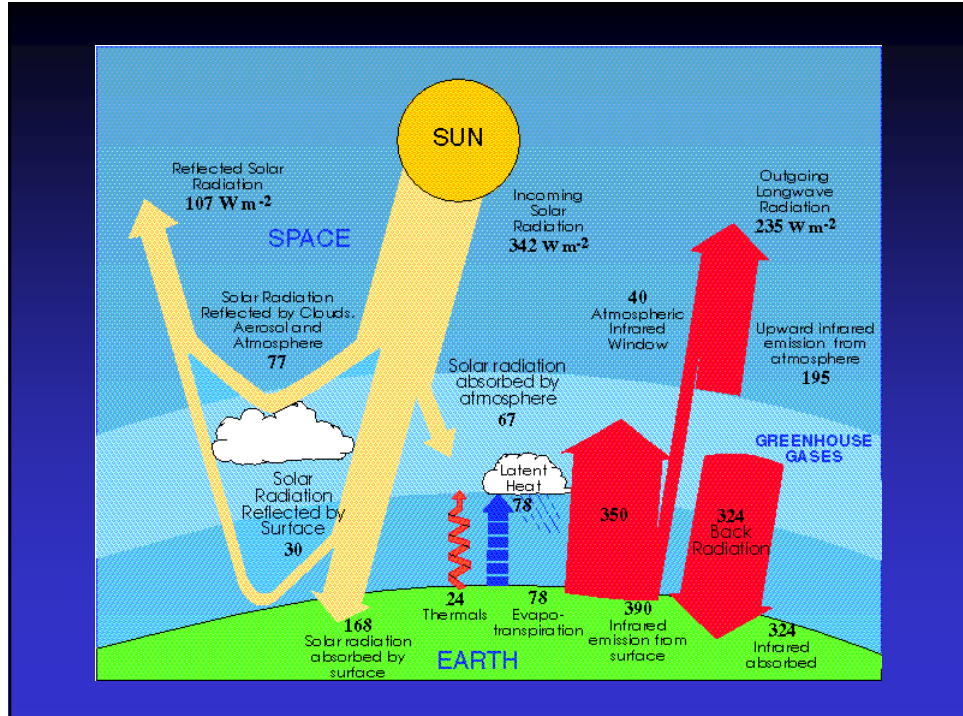
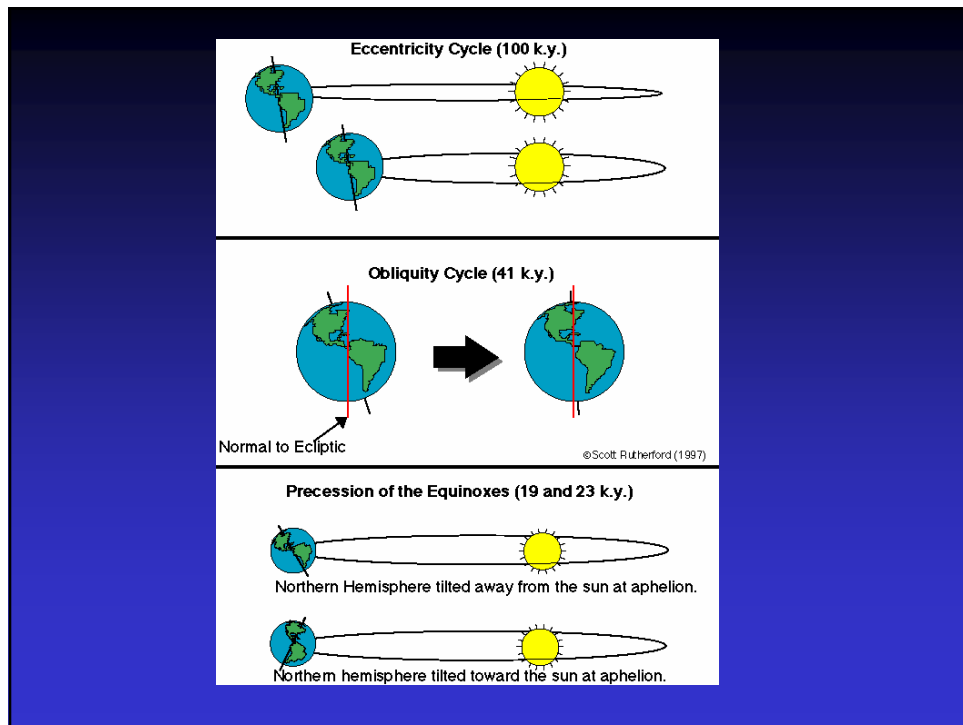


Cualquier cambio en las causas del clima puede acabar modificándolo

- Externas
 - Actividad solar, incluidas manchas solares
 - Movimiento relativo Tierra-Sol (excentricidad, precesión de los equinoccios, oblicuidad: Milankovitch)
 - Impacto meteorito o cometa
- Internas
 - Efecto invernadero
 - Desigual distribución del balance de energía
 - Dinámica interna del sistema (vientos, corrientes, realimentaciones, ...)
 - Cambio de composición
 - Aerosoles
 - Nubes



Friis-Christensen, E. y K. Lassen, Science (1991)



EFFECTO INVERNADERO

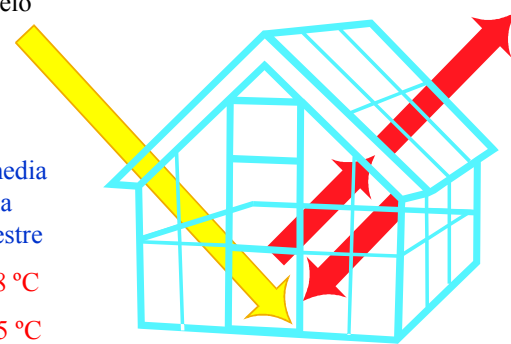
La energía visible procedente del sol pasa a través del cristal y calienta el suelo

La energía calorífica procedente del suelo es parcialmente reflejada por el cristal y parte queda atrapada dentro del invernadero

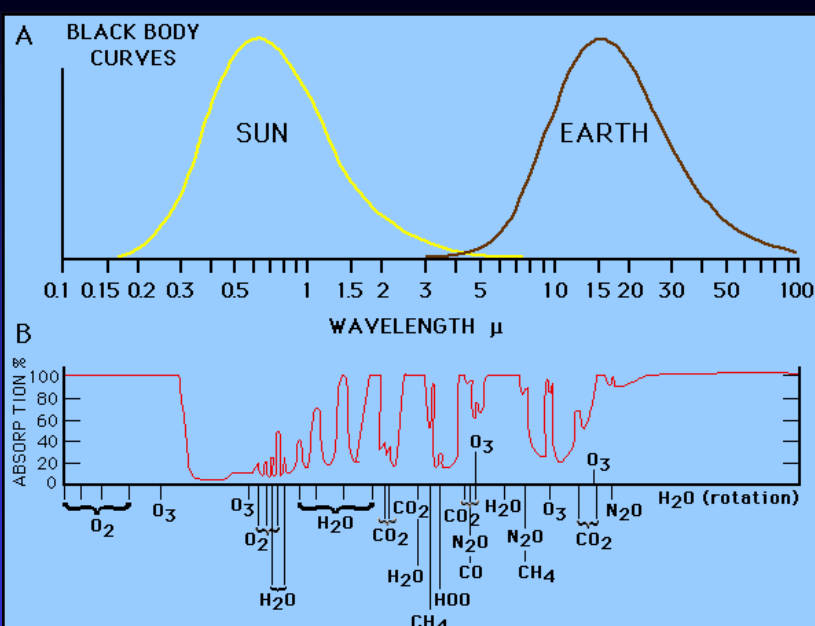
Temperatura media del aire en la superficie terrestre

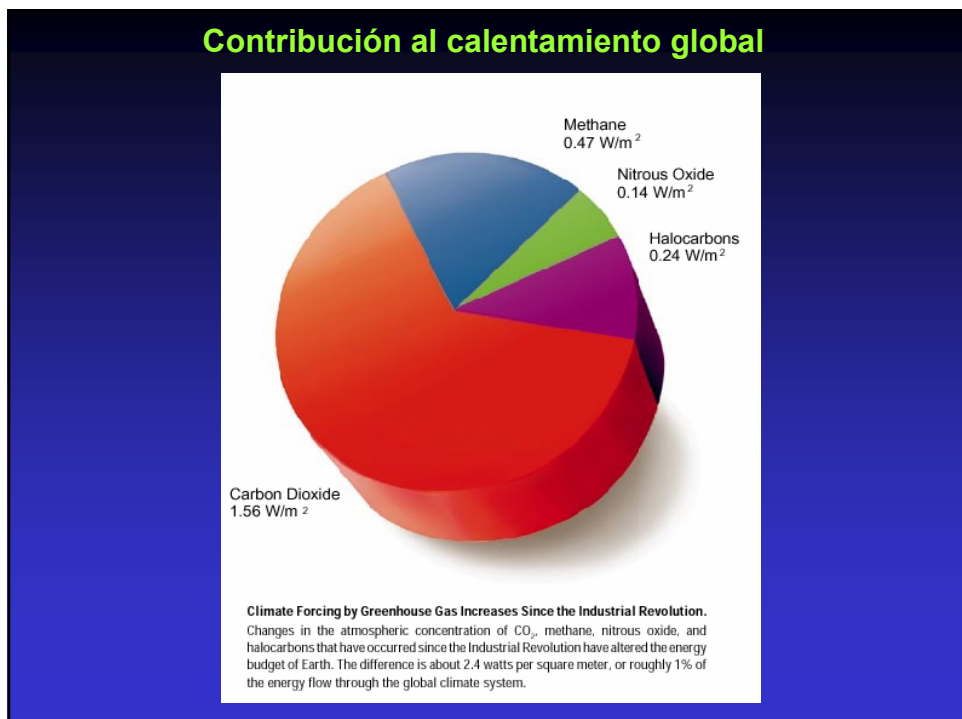
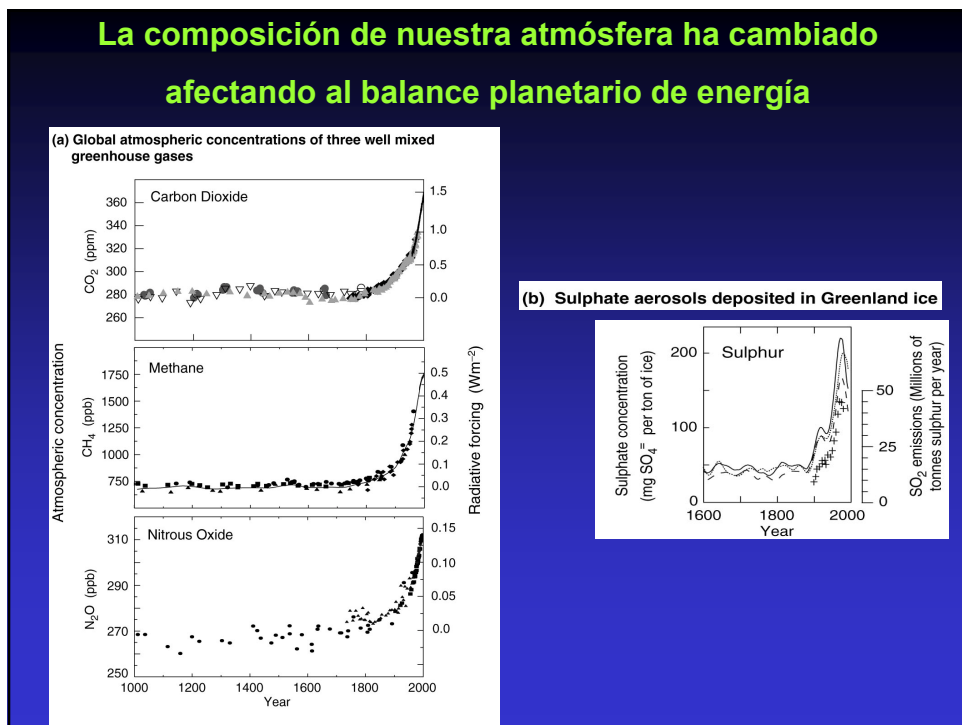
SIN E. I. = -18 °C

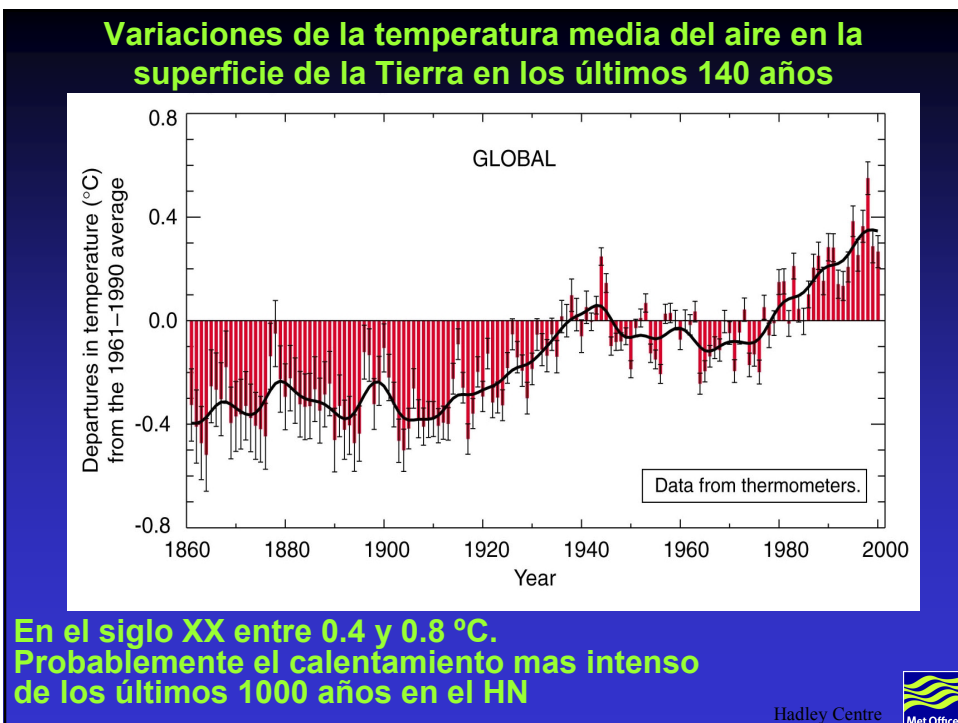
CON E. I. = 15 °C



Hadley Centre







SOME EVIDENCES OF RECENT CLIMATE CHANGE

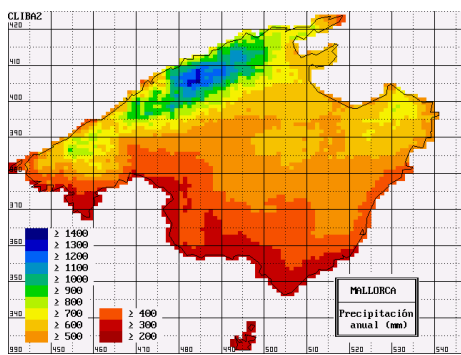
Particularly, the case of the Balearic Islands

Estudi de les tendències climàtiques a les Illes Balears amb dades instrumentals

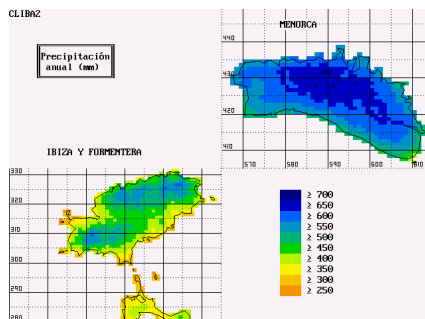
- Precipitació
- Temperatura al nivell de la superfície de la terra
- Temperatura a la troposfera i baixa estratosfera

Dades obtingudes del Centre Meteorològic Territorial en Illes Balears de l'Institut Nacional de Meteorologia

Estudi de les tendències climàtiques a les Illes Balears amb dades instrumentals: Precipitació (I)



Precipitació mitjana anual



Guíjarro (1986)
Tesi doctoral

Estudi de les tendències climàtiques a les Illes Balears amb dades instrumentals: Precipitació (II)

El nombre d'estacions pluviomètriques a les Illes Balears s'acosta a 200

Sèries diàries de molt diferent llargària.

S'ha considerat el període 1951-2000 (50 anys).

El nombre d'estacions que tenen la sèrie diària completa és 21.

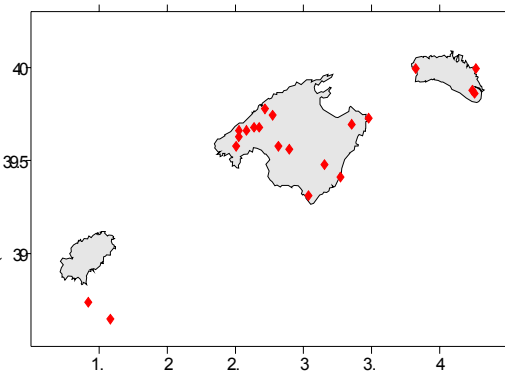
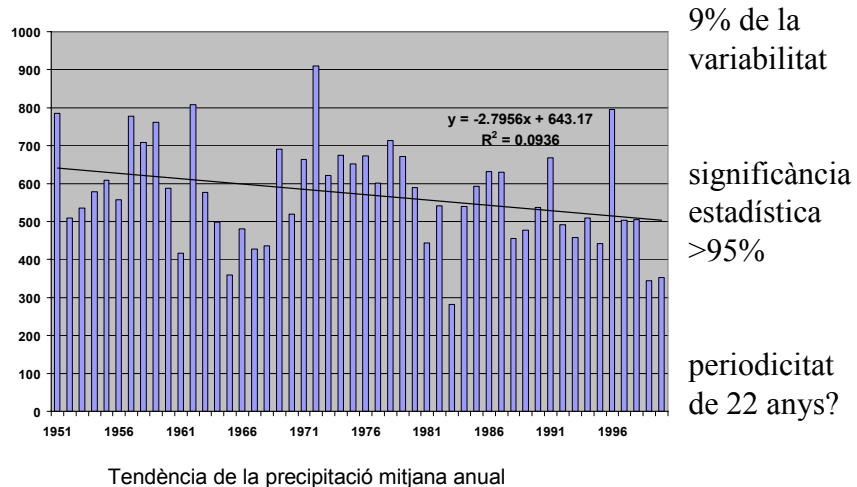
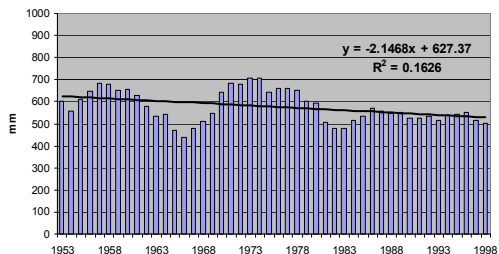


Fig. 1. Localització de les estacions pluviomètriques que tenen la sèrie diària completa en el període 1951-2000

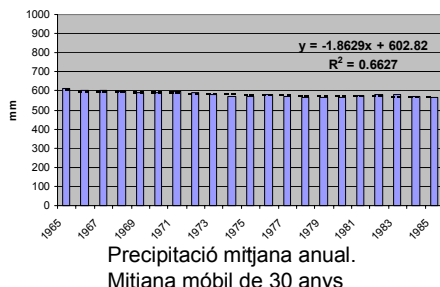
Estudi de les tendències climàtiques a les Illes Balears amb dades instrumentals: Precipitació (III)



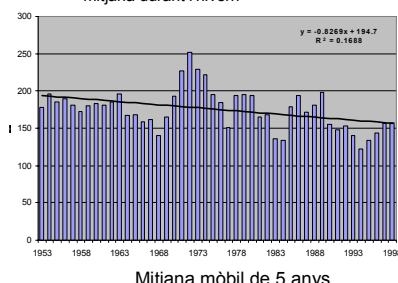
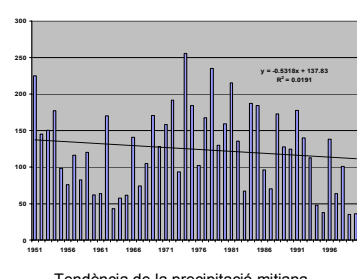
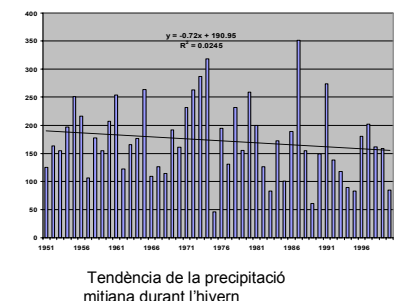
Estudi de les tendències climàtiques a les Illes Balears amb dades instrumentals: Precipitació (IV)



Significància estadística
>99%



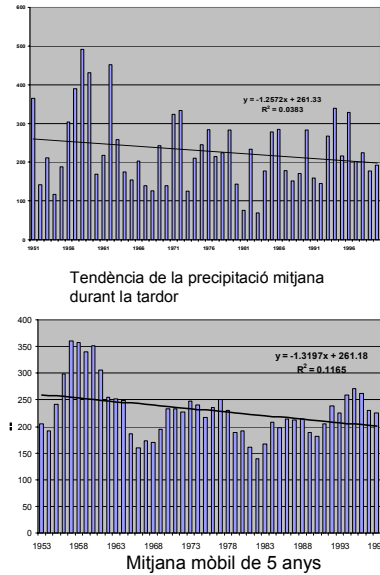
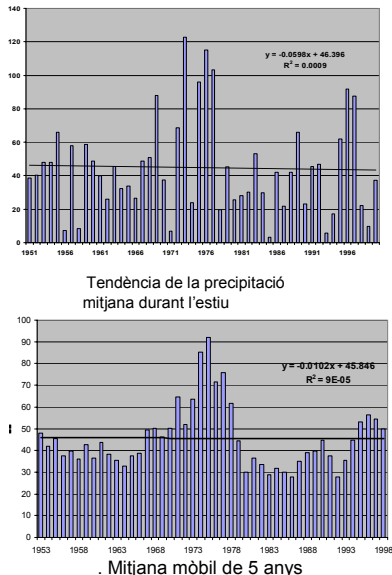
Estudi de les tendències climàtiques a les Illes Balears amb dades instrumentals: Precipitació (V)



>95%

Mitjana mòbil de 5 anys

Estudi de les tendències climàtiques a les Illes Balears amb dades instrumentals: Precipitació (VI)



>95%

Estudi de les tendències climàtiques a les Illes Balears amb dades instrumentals: Precipitació (VII)

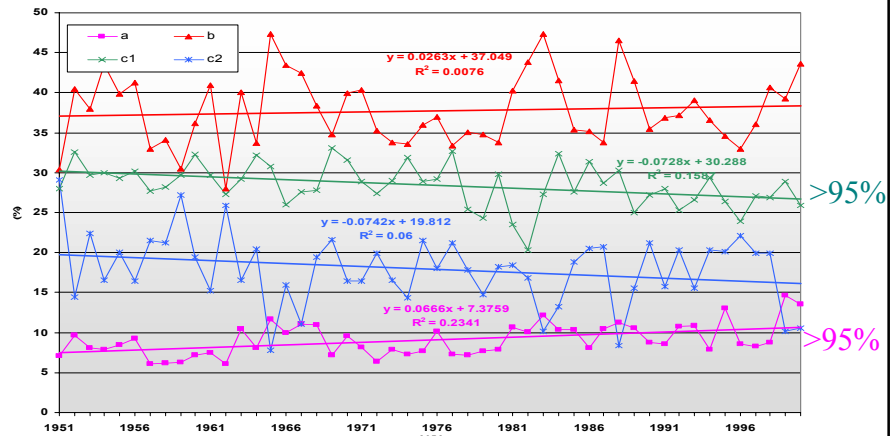
Per cada any i per cada una de les 21 estacions pluviomètriques, s'han separat les precipitacions diàries en 7 categories:

Traça:	0-1	mm
a:	1-4	mm
b:	4-16	mm
c1:	16-32	mm
c2:	32-64	mm
d1:	64-128	mm
d2:	>128	mm

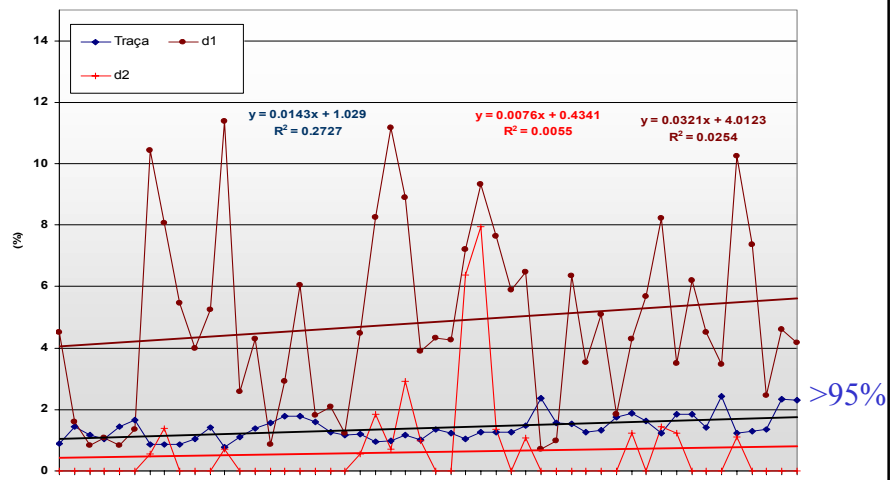
S'han considerat dues variables:

- Percentatge de precipitació respecte de la precipitació total anual
- Nombre anual de dies de precipitació

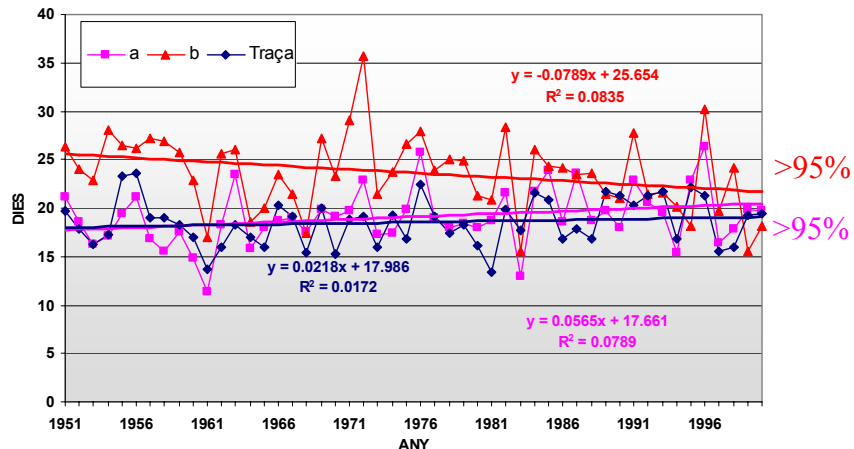
Estudi de les tendències climàtiques a les Illes Balears amb dades instrumentals: Precipitació (VIII)



Estudi de les tendències climàtiques a les Illes Balears amb dades instrumentals: Precipitació (IX)

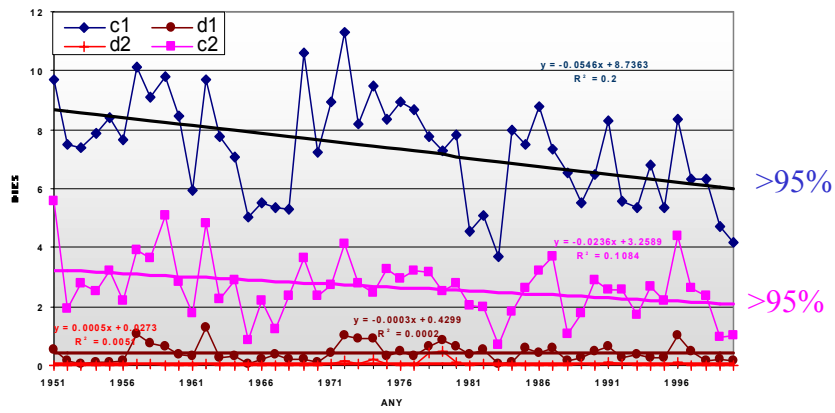


Estudi de les tendències climàtiques a les Illes Balears amb dades instrumentals: Precipitació (X)



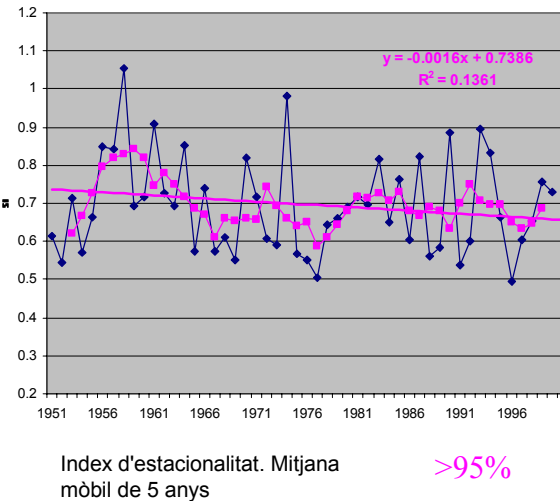
Nombre de dies de precipitació durant l'any corresponents a les categories traça, a i b

Estudi de les tendències climàtiques a les Illes Balears amb dades instrumentals: Precipitació (XI)



Nombre de dies de precipitació durant l'any corresponents a les categories c1, c2, d1 i d2

Estudi de les tendències climàtiques a les Illes Balears amb dades instrumentals: Precipitació (XII)

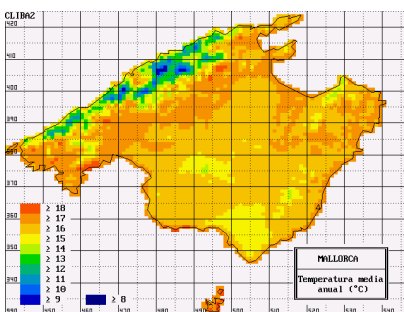


Index d'estacionalitat

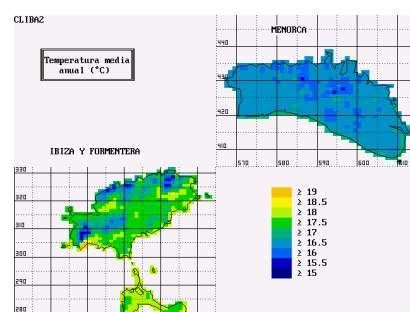
$$SI = \frac{1}{R} \sum_{n=1}^{12} \left| Mi - \frac{R}{12} \right|$$

<0.19	pluja tot l'any
0.20-0.39	estació humida
0.40-0.59	estació seca curta
0.60-0.79	estacional
0.80-0.99	estació seca llarga
1.00-1.99	precipitació en menys de 3 mesos
>1.20	precipitació en 1-2 mesos

Estudi de les tendències climàtiques a les Illes Balears amb dades instrumentals: Temperatura superficial (I)

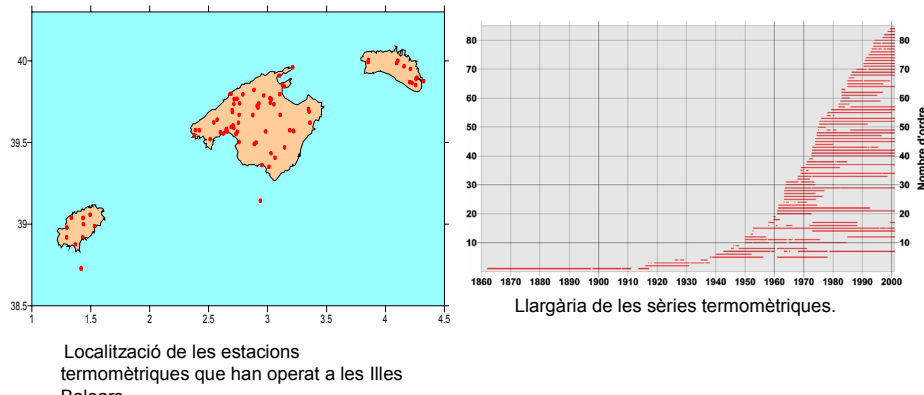


Temperatura mitjana anual



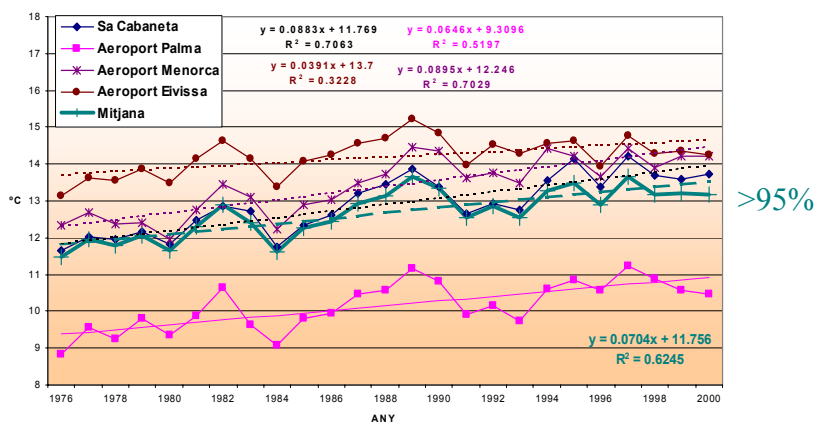
Guijarro (1986)
Tesi doctoral

Estudi de les tendències climàtiques a les Illes Balears amb dades instrumentals: Temperatura superficial (II)



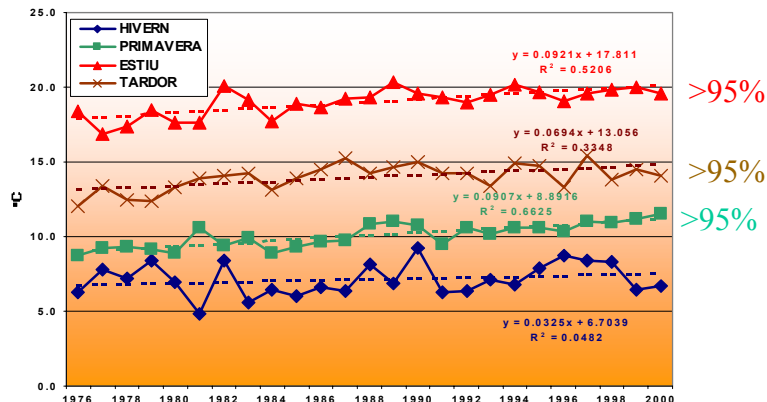
S'han considerat les estacions que en un interval de 25 anys (1976-2000) tenen les sèries de temperatura màxima i mínima diàries quasi completes:
 Sa Cabaneta, Aeroport de Palma, Aeroport de Menorca, Aeroport d'Eivissa

Estudi de les tendències climàtiques a les Illes Balears amb dades instrumentals: Temperatura superficial (III)



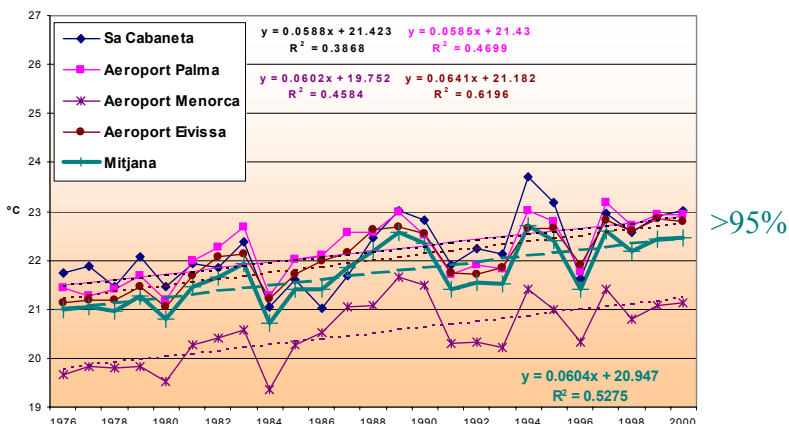
Temperatura mínima mitjana anual

Estudi de les tendències climàtiques a les Illes Balears amb dades instrumentals: Temperatura superficial (IV)



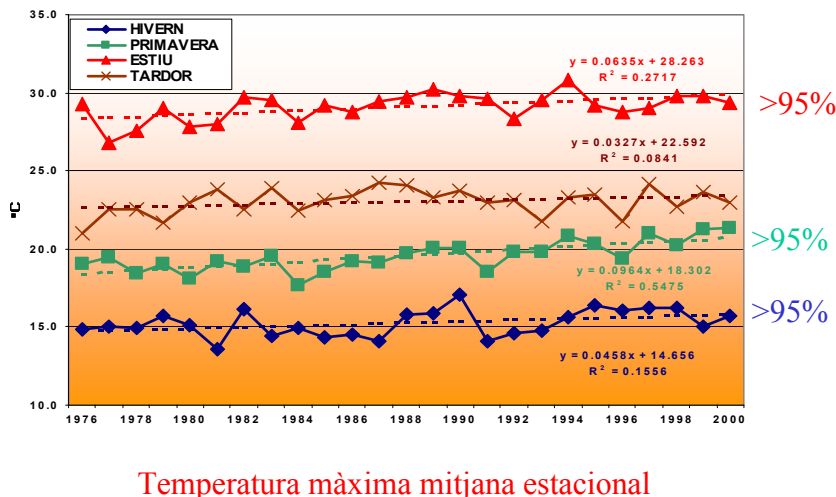
Temperatura mínima mitjana estacional

Estudi de les tendències climàtiques a les Illes Balears amb dades instrumentals: Temperatura superficial (V)



Temperatura màxima mitjana anual

Estudi de les tendències climàtiques a les Illes Balears amb dades instrumentals: Temperatura superficial (VI)



Conclusions més relevantes (I)

Dades instrumentals:

Precipitació (significància estadística superior al 95%)

- Tendència negativa de la precipitació total anual. També amb les mitjanes mòbils de 5 i 30 anys
- Variabilitat estacional més gran que l'anual. Tendència negativa a l'hivern i la tardor
- Les precipitacions febles tenen tendència a augmentar la seva contribució a la pluja total anual
- Les plujes fortes tenen tendència a disminuir la seva contribució a la pluja total anual
- Augment dels dies amb precipitació dèbil
- Disminució dels dies de plujes moderades i fortes

Conclusions més relevantes (II)

Dades instrumentals:

Temperatura (significància estadística superior a 95%)

- Augment de la temperatura mínima mitjana anual de l'ordre de 7 °C/100 anys
- Augment més important de les temperatures mínimes durant la primavera i l'estiu
- Augment de la temperatura màxima mitjana anual de l'ordre de 6 °C/100 anys
- Augment més important de les temperatures màximes durant la primavera i l'estiu, menys important durant l'hivern
- A 1500 m, augment a la primavera, disminució durant la tardor

ALGUNAS OBSERVACIONES DEL PASADO RECENTE (Guijarro J. A. 2002)

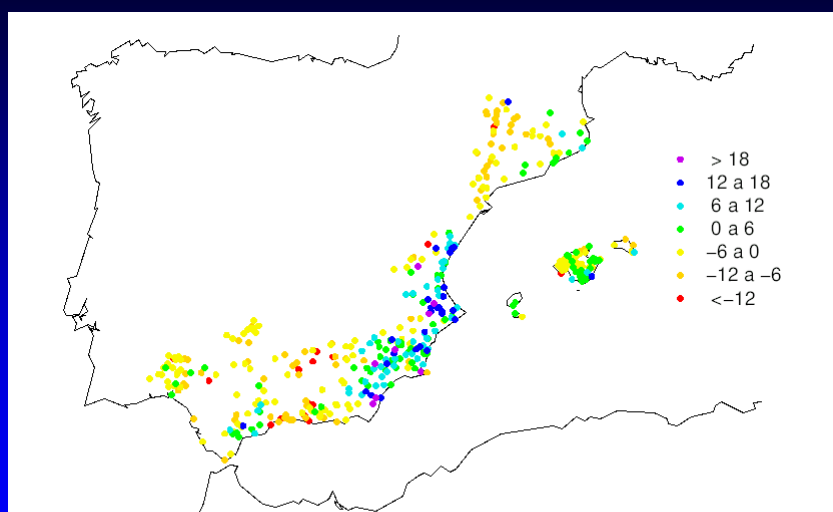
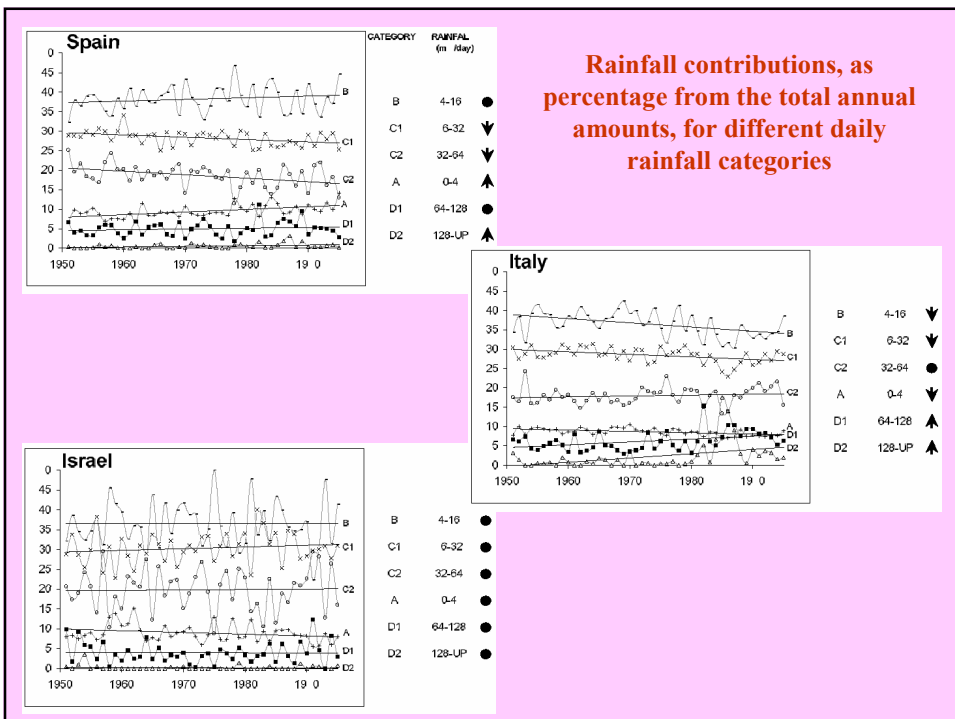


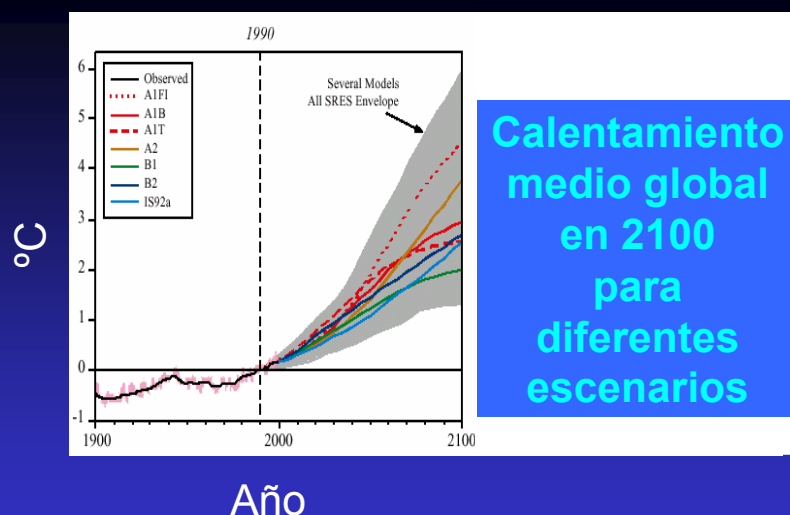
Figura 4: Distribución espacial de las tendencias (% por década) de la precipitación en el área mediterránea española (1964-1993).



Escenarios de cambio climático global

Escenarios de Emisiones (IPCC)

<u>Escenario</u>	<u>2020</u>	<u>2050</u>	<u>2080</u>
	CO_2 ppm	CO_2 ppm	CO_2 ppm
B1-bajo	421	479	532
B2-medio	429	492	561
A1-medio	448	555	646
A2-alto	440	559	721



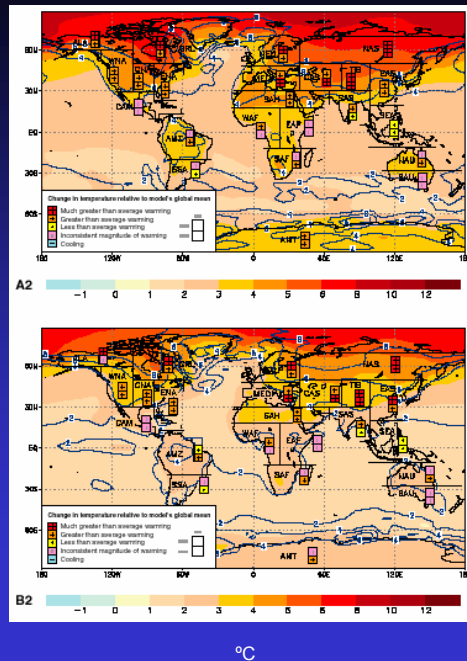
Calentamiento entre 2 y 15 veces lo observado en los 100 últimos años y posiblemente en más de 10000 años

Temperatura

Muy desigual distribución geográfica

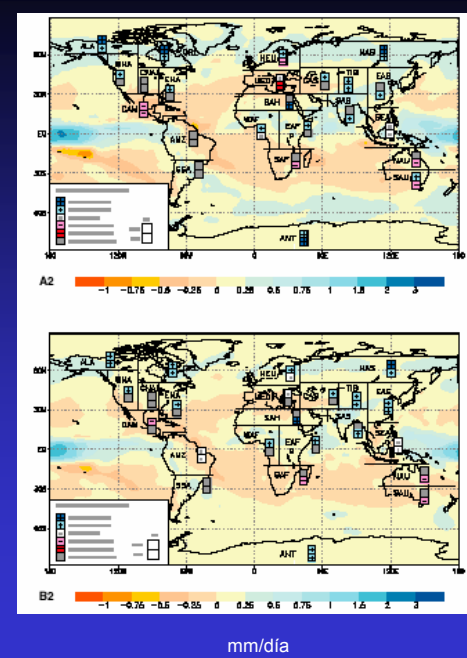
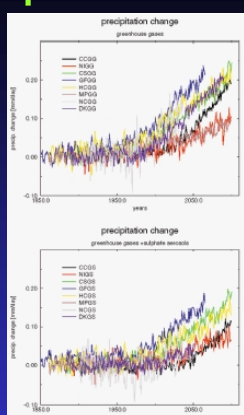
Pueden llegar a superarse los valores medios

2071-2100 desde 1961-1990



Precipitación

2071-2100 desde 1961-1990



Pueden cambiar las escorrentías

Aumento del riesgo de sequía

Mayores y más frecuentes crecidas



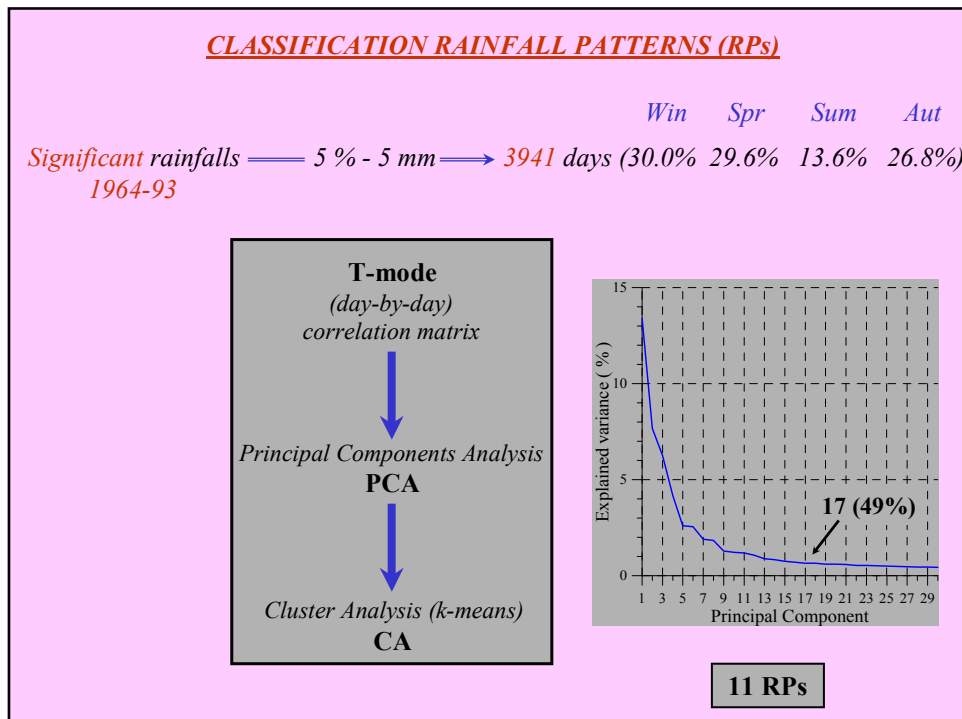
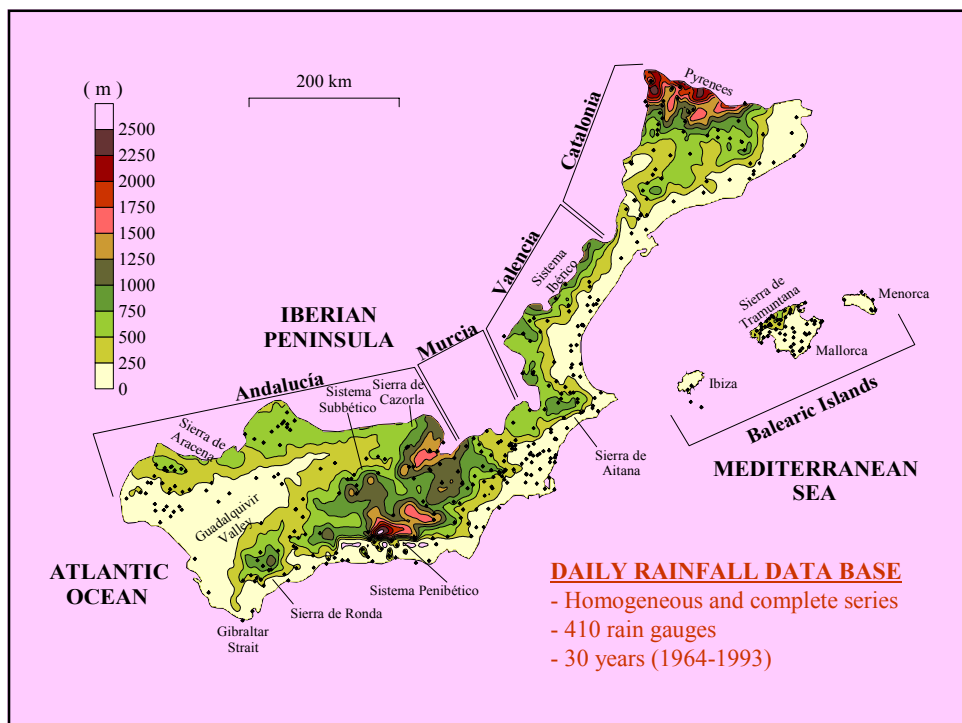
Se hace necesaria una REGIONALIZACIÓN de los resultados de los modelos de simulación del clima (“Downscaling”)

-Downscaling dinámico

-Downscaling estadístico

ATMOSPHERIC CIRCULATION AND PRECIPITATION IN MEDITERRANEAN SPAIN

Trying to find the cause-effect statistical relationship ...



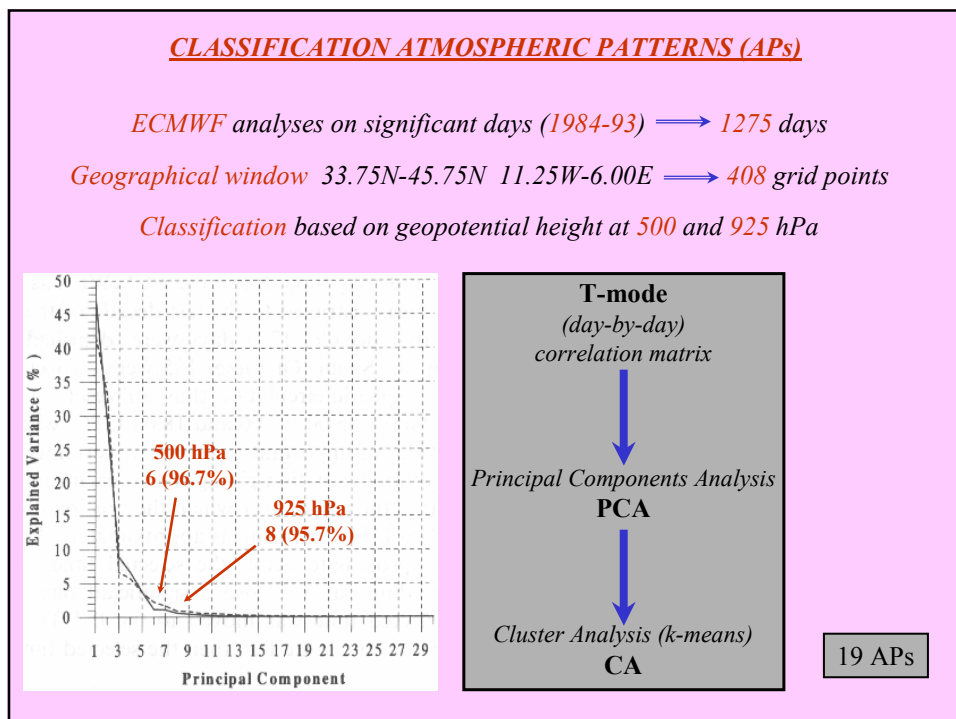
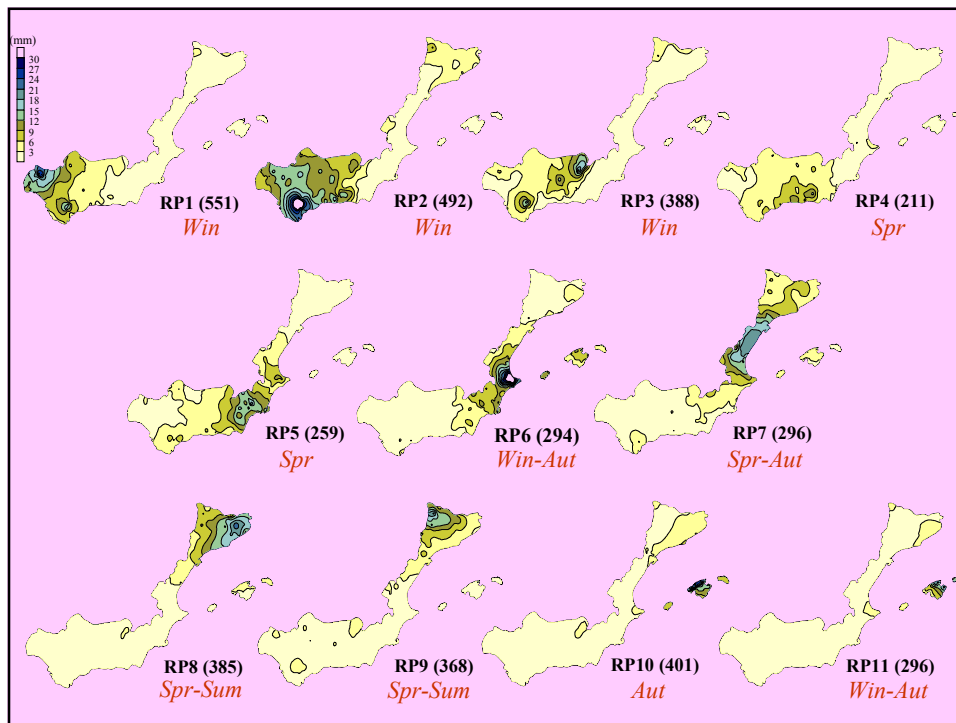


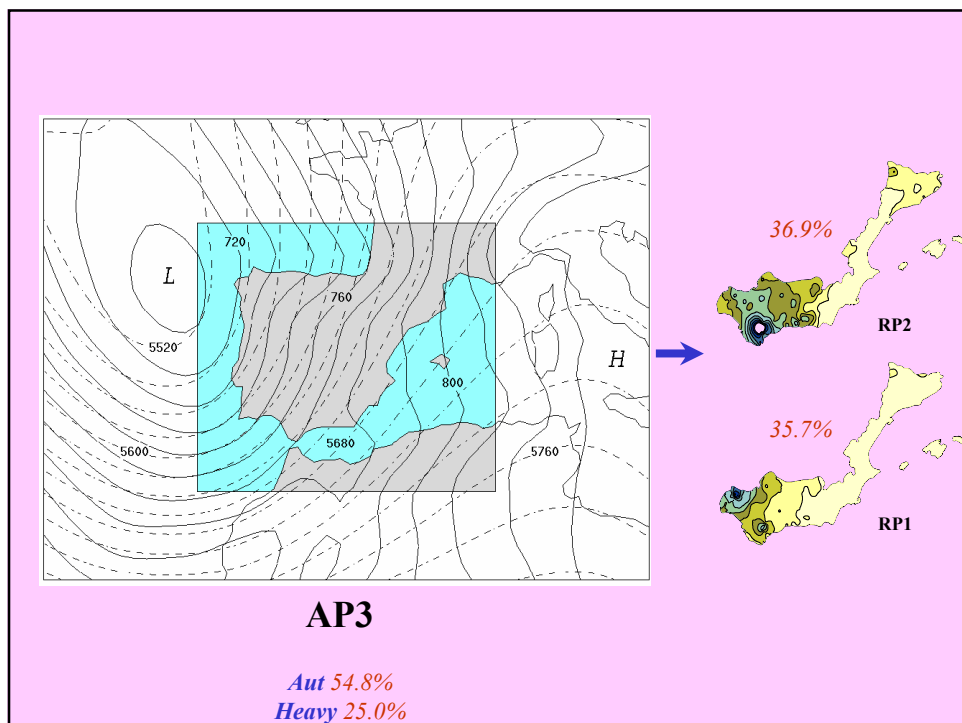
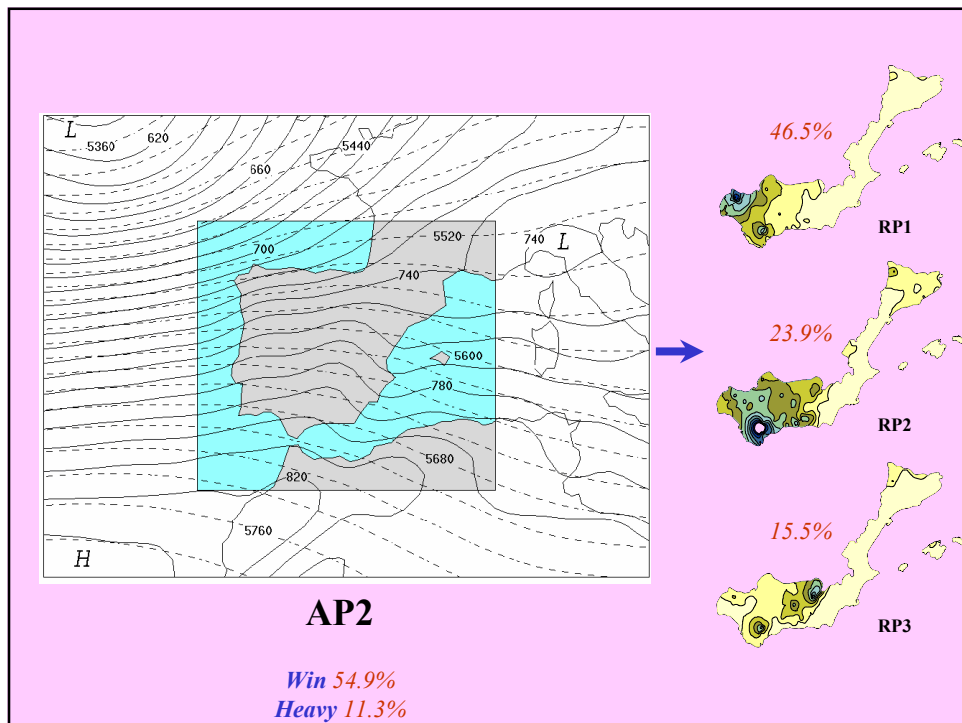
Table II. Percentage frequency of the 11 daily RPs within the 19 APs (in bold, percentages greater than 15%) and seasonal distribution of the APs (in bold, percentages greater than 30%)

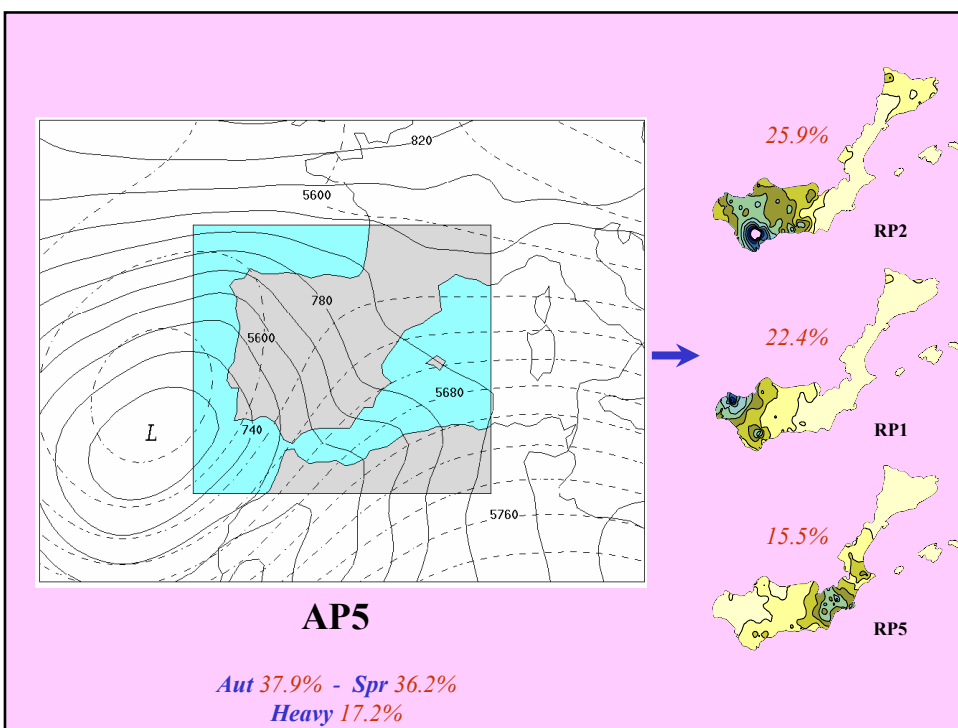
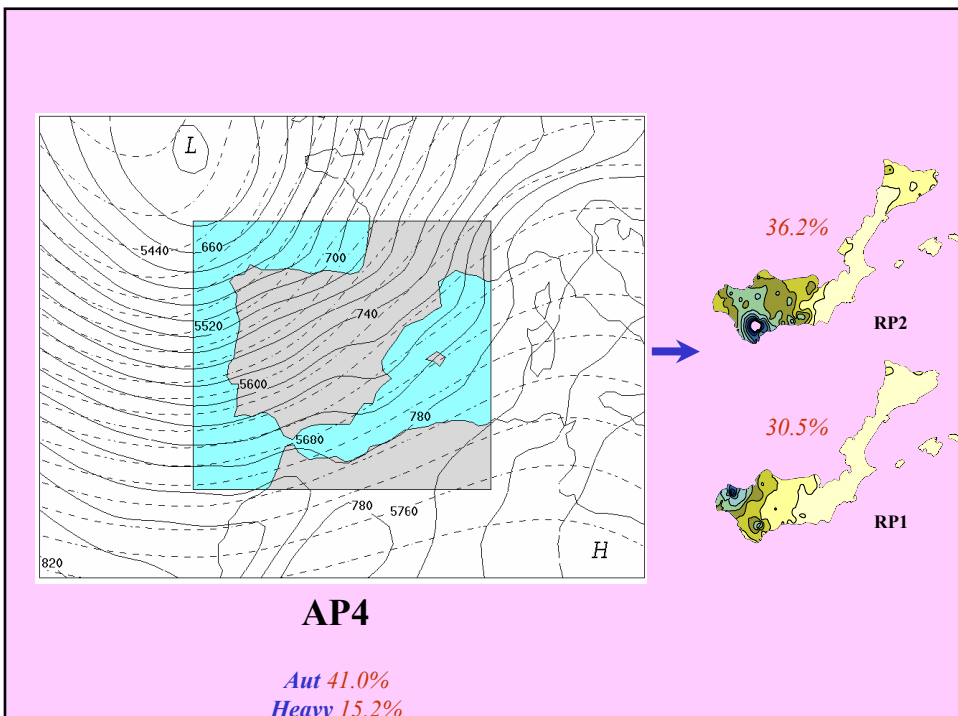
Atmospheric pattern	Number of days	RPI	RP2	RP3	RP4	RP5	RP6	RP7	RPO	RP9	RP10	RP11	Winter	Spring	Summer	Autumn
AP1	51	49.0	33.3	0.0	2.0	0.0	5.9	5.9	2.0	0.0	1.9		43.1	17.6	5.9	33.4
AP2	71	46.5	23.9	15.5	0.0	1.4	0.0	0.0	2.8	1.4	4.2	4.3	54.9	18.3	1.4	25.4
AP3	84	35.7	36.9	0.0	1.2	4.8	1.2	8.3	2.4	0.0	1.2		20.2	19.0	6.0	54.8
AP4	105	30.5	36.2	4.8	0.0	0.0	1.0	8.6	2.9	12.4	1.9	1.7	25.7	20.5	5.8	41.0
AP5	58	22.4	25.9	0.0	12.1	15.5	5.2	8.6	0.0	6.9	1.7	1.7	25.9	36.2	0.0	37.9
AP6	78	17.9	15.4	5.1	7.7	21.8	9.0	17.9	3.8	0.0	1.4		29.5	33.3	9.0	28.2
AP7	100	13.0	9.0	25.0	4.0	3.0	2.0	2.0	14.0	25.0	2.0	1.0	22.0	35.0	8.0	35.0
AP8	76	2.6	13.2	15.8	1.3	3.9	0.0	10.5	23.7	21.1	6.6	1.3	7.9	42.1	23.7	26.3
AP9	86	2.3	8.1	41.9	3.5	0.0	1.2	2.3	16.3	4.7	10.5	9.2	45.3	29.1	9.3	16.3
AP10	28	3.6	10.7	0.0	0.0	10.7	14.3	14.3	28.6	3.6	7.1	7.1	46.4	10.7	0.0	42.9
AP11	70	1.4	1.4	4.3	2.9	4.3	11.4	11.4	30.0	20.0	7.1	5.8	5.7	30.0	41.4	22.9
AP12	23	0.0	0.0	0.0	8.7	4.3	69.6	0.0	4.3	0.0	8.7	4.4	47.8	17.4	0.0	34.8
AP13	66	1.5	3.0	0.0	3.0	28.8	40.9	12.1	4.5	1.5	4.5	0.2	53.0	19.7	3.0	24.3
AP14	56	3.6	3.6	8.9	3.6	17.9	16.1	21.4	3.6	14.3	5.4	1.6	8.9	35.7	33.9	21.5
AP15	25	4.0	8.0	0.0	16.0	20.0	4.0	24.0	0.0	8.0	8.0	8.0	16.0	32.0	12.0	40.0
AP16	73	4.1	4.1	0.0	9.6	16.4	8.2	6.8	20.5	0.0	17.8	12.5	12.3	28.8	38.4	20.5
AP17	52	0.0	3.8	0.0	5.8	9.6	36.5	0.0	1.9	0.0	19.2	23.2	30.8	23.1	15.4	30.7
AP18	86	2.3	2.3	8.1	0.0	4.7	7.0	2.3	17.4	2.3	24.4	29.2	26.7	41.9	8.1	23.3
AP19	87	0.0	1.1	1.1	4.6	1.1	5.7	1.1	10.3	1.1	37.9	36.0	34.5	40.2	4.6	20.7
Total	1275	13.7	13.6	8.5	3.8	7.8	9.1	7.5	10.9	7.5	9.1	8.3	28.2	29.9	12.1	29.8

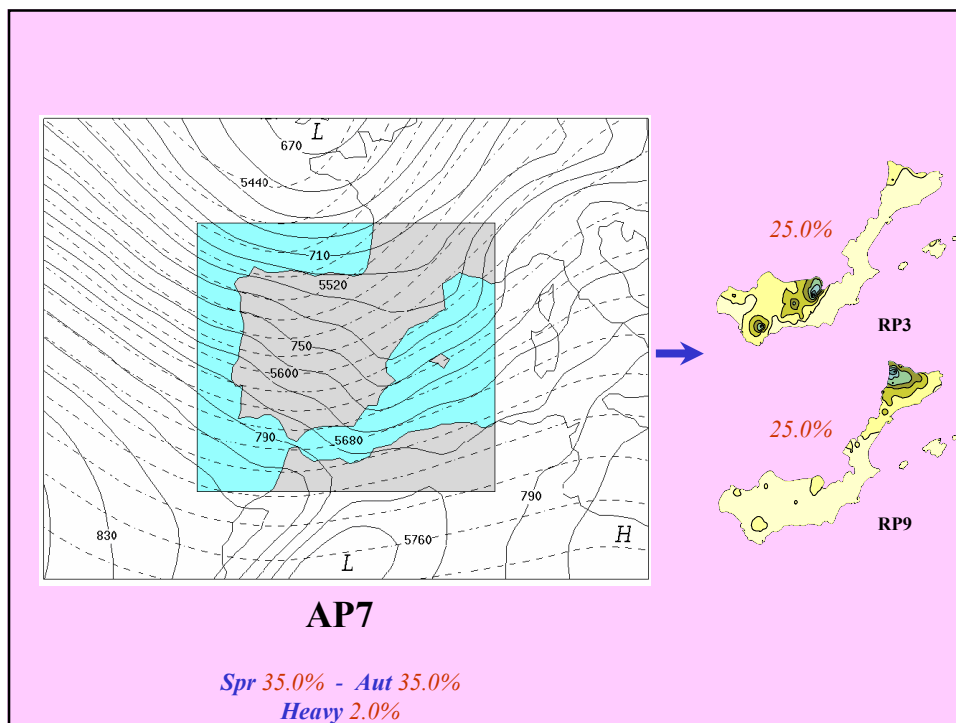
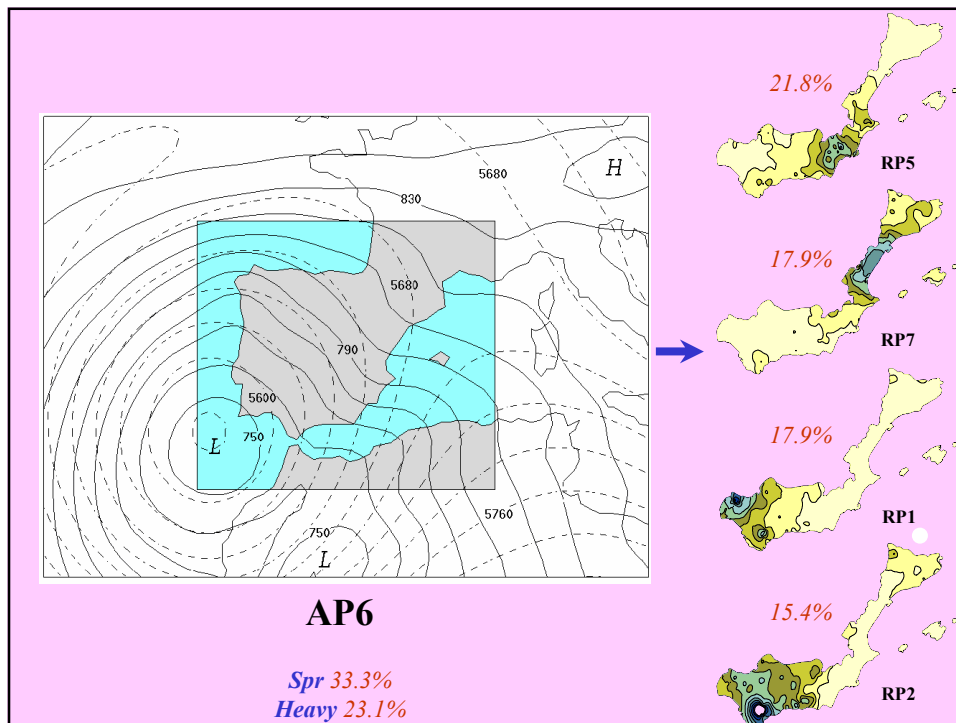
CLEAR
ASSOCIATION

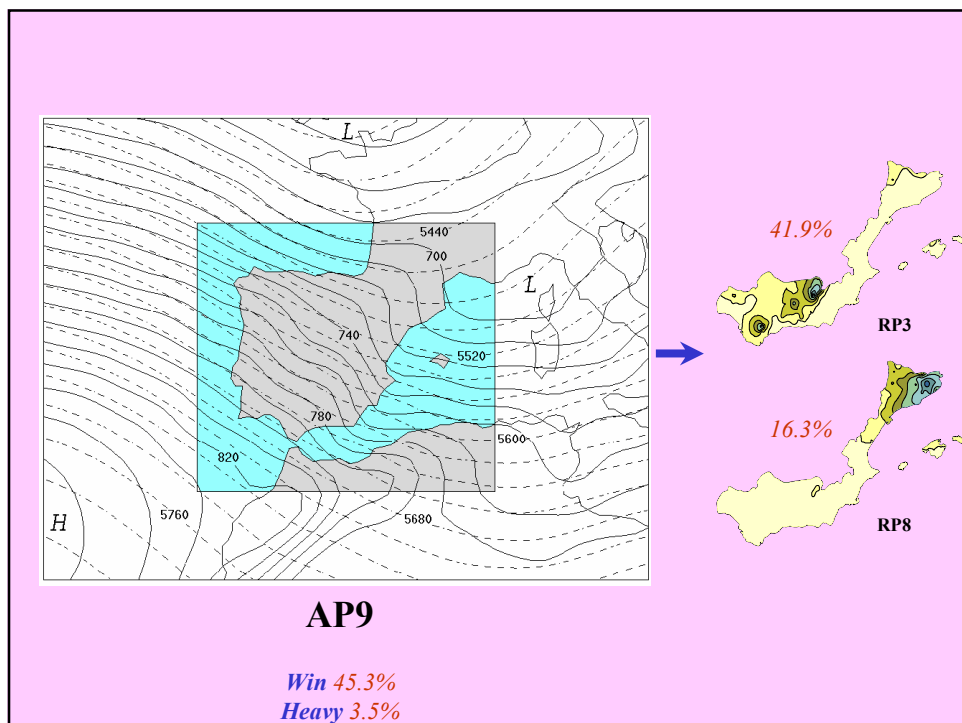
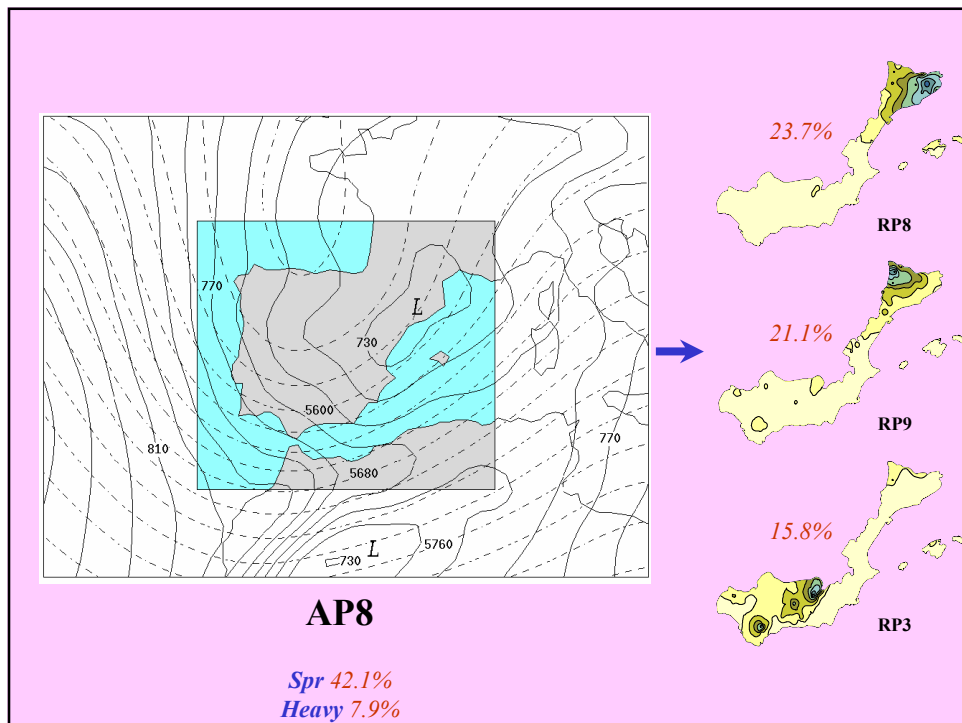
AP1

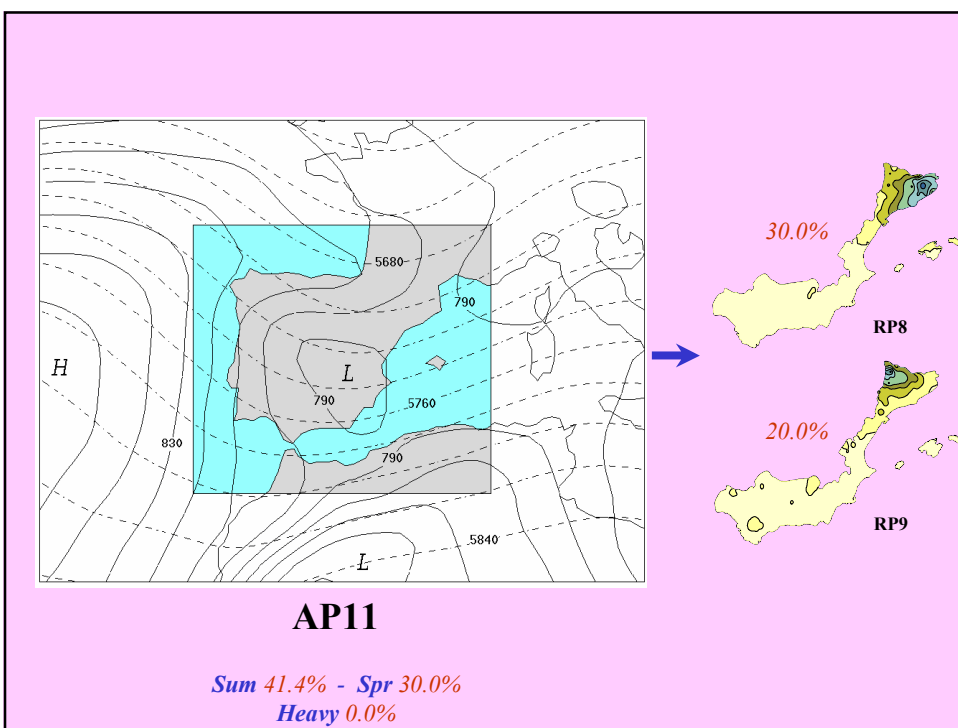
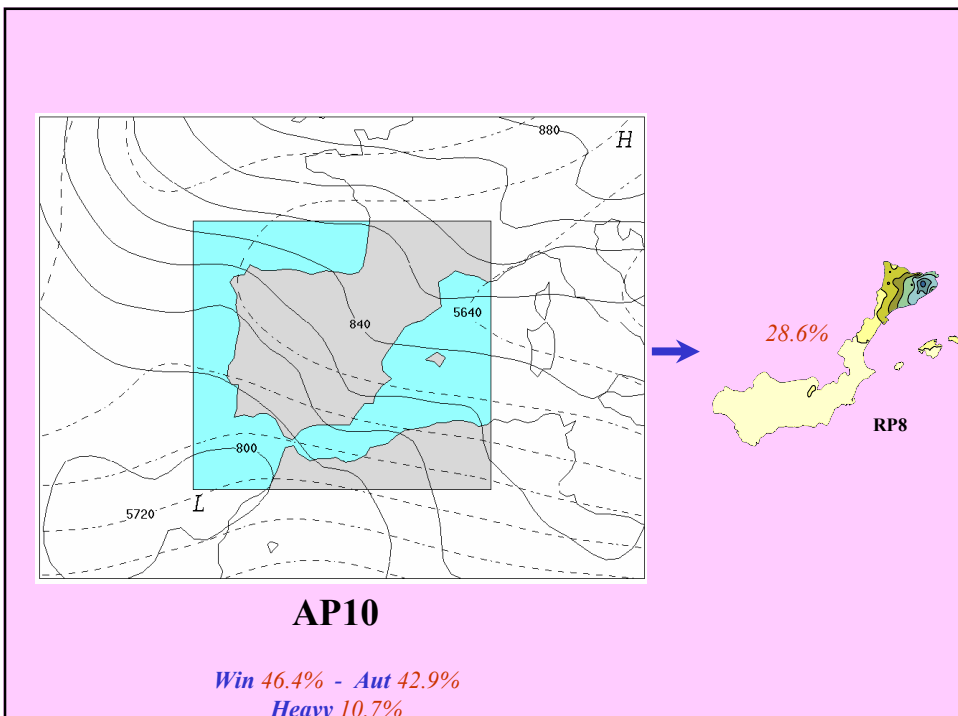
Win 43.1% - Aut 33.4%
Heavy 15.7%

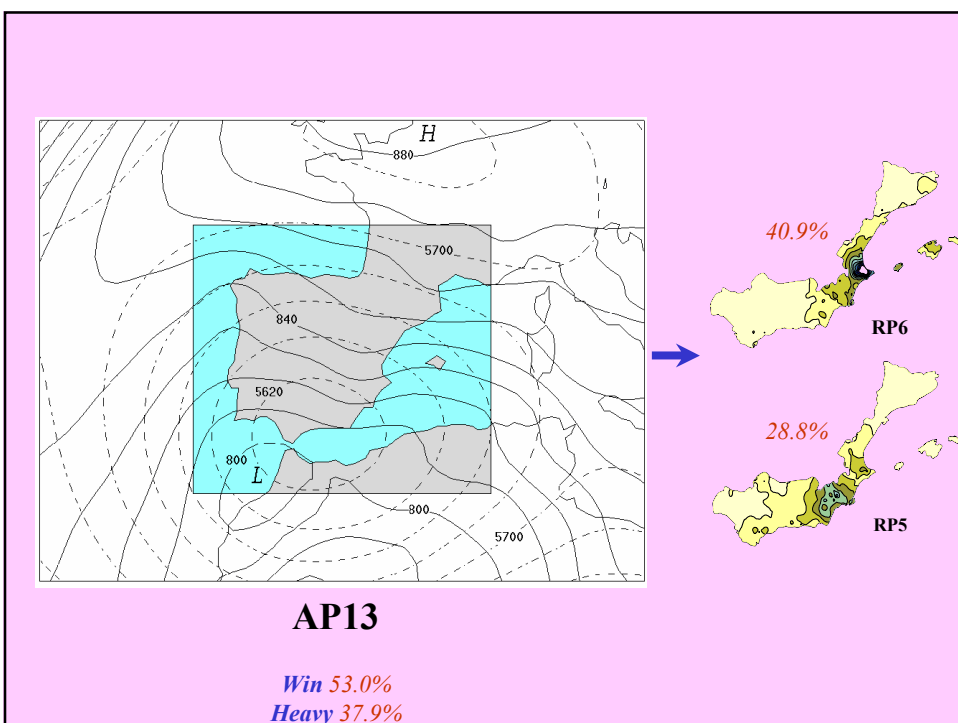
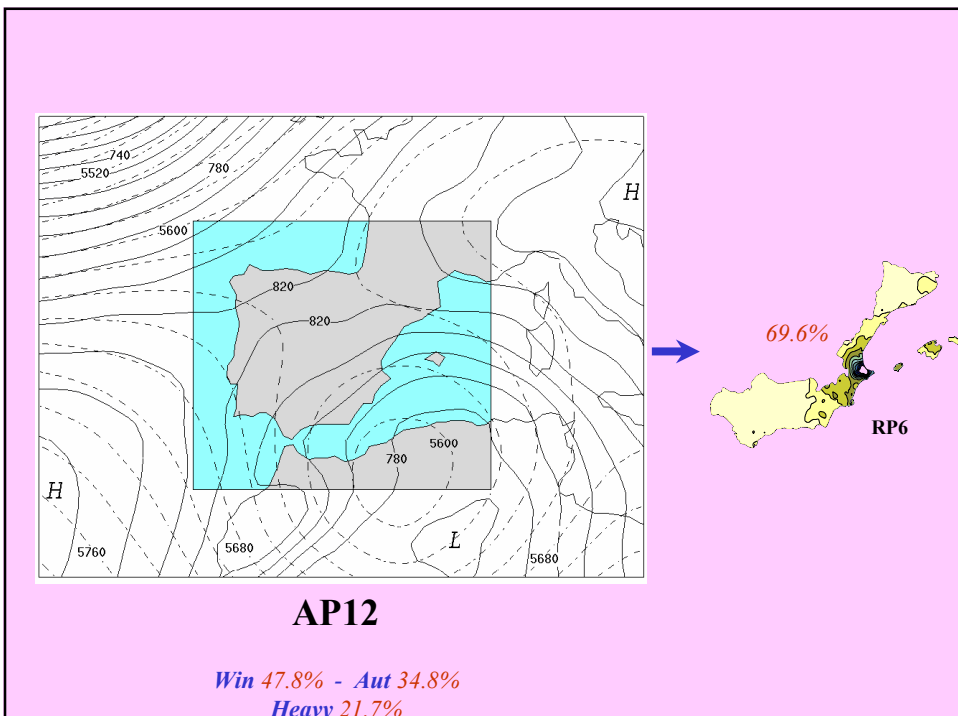


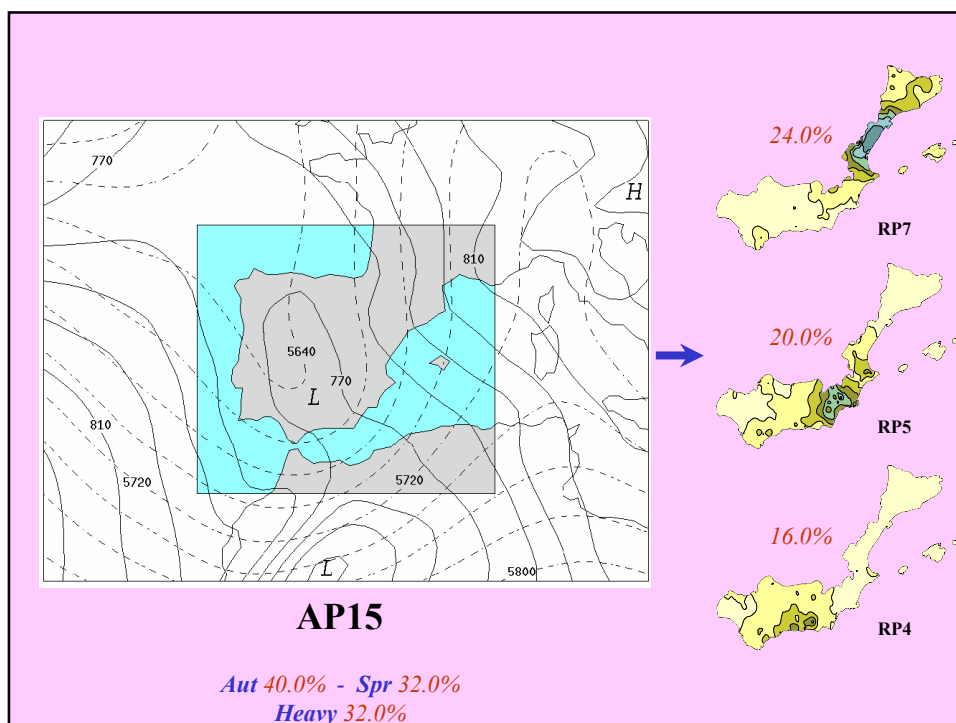
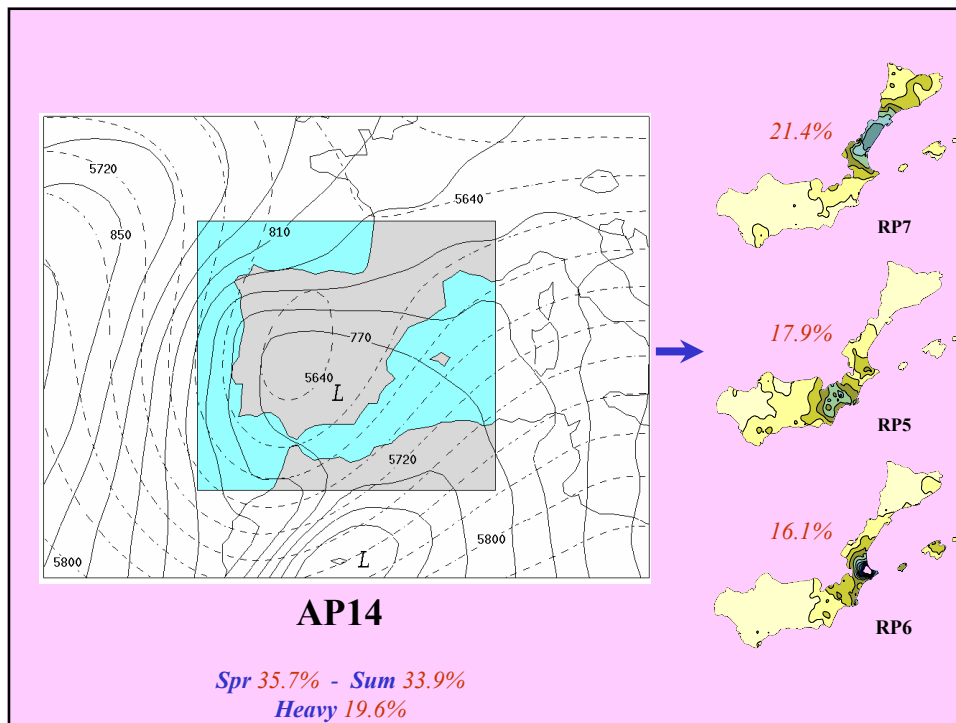


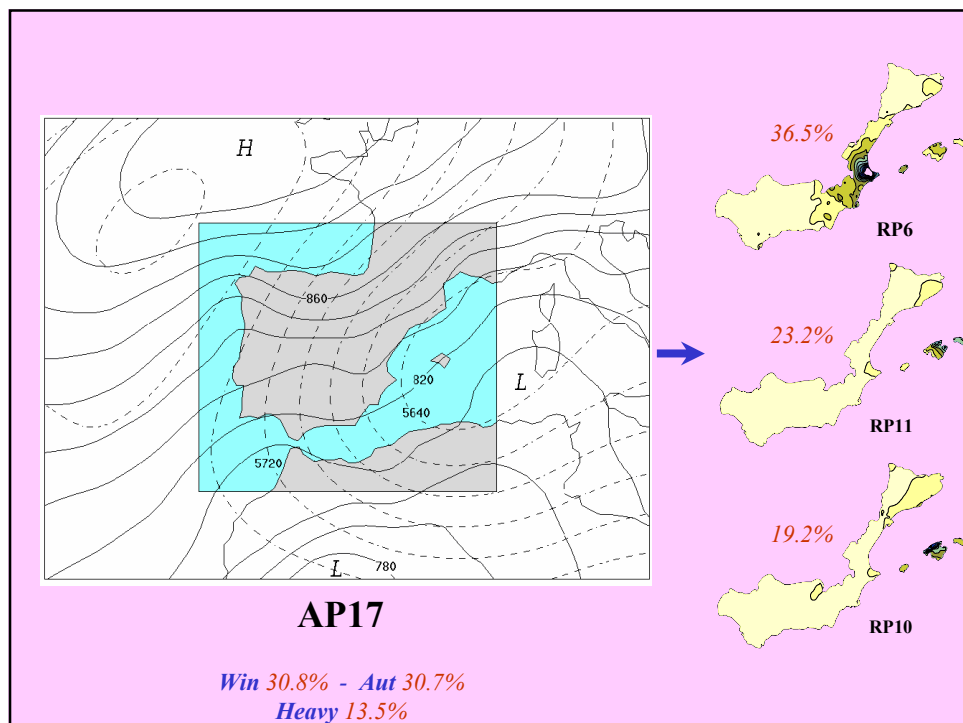
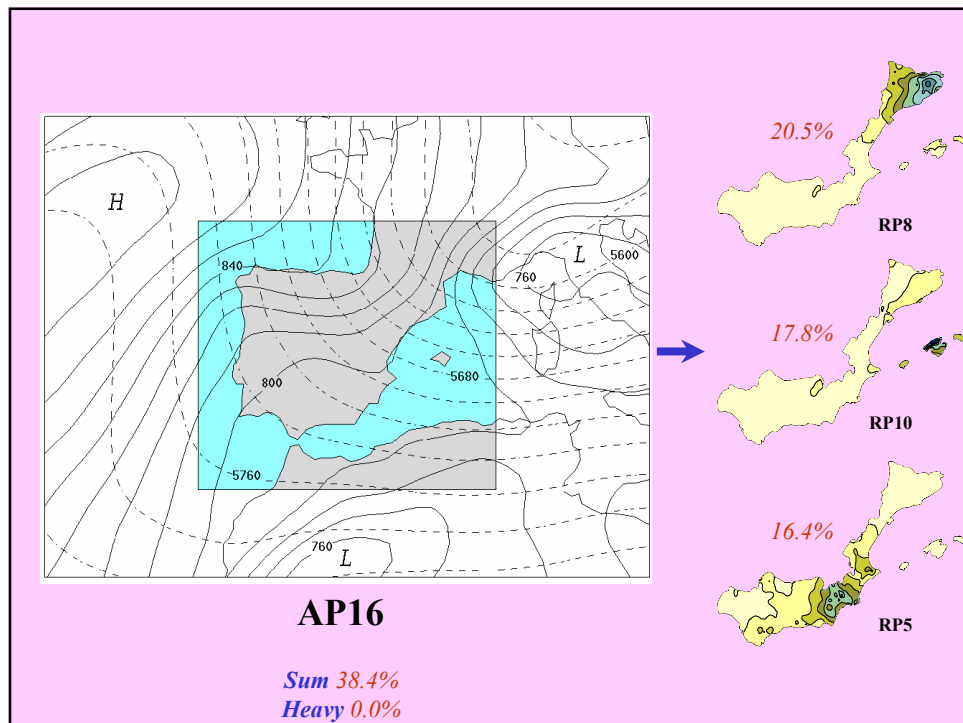


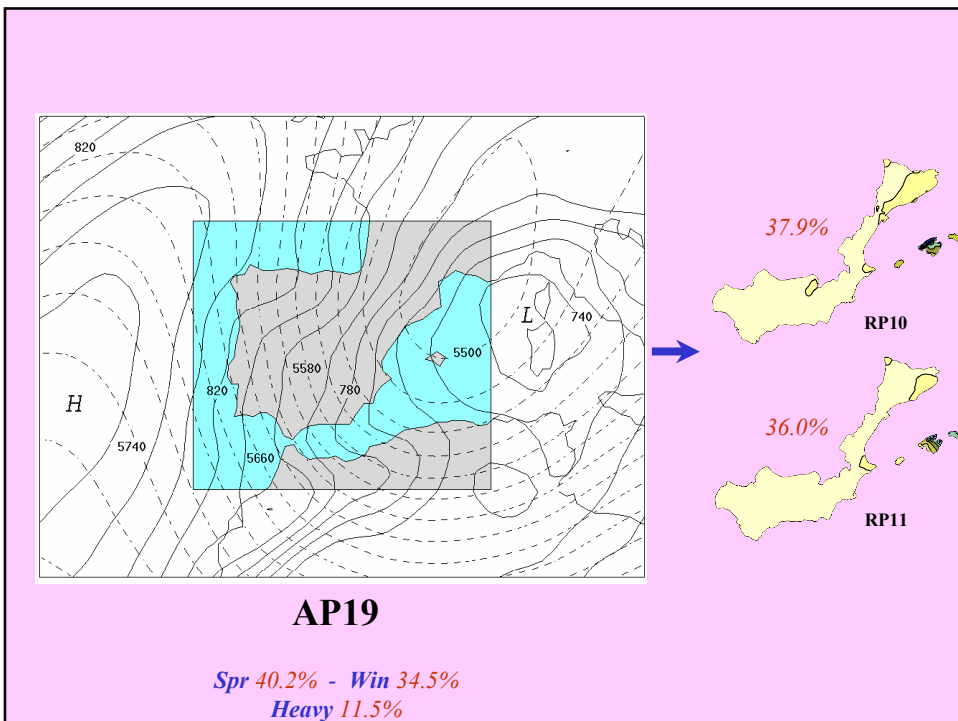
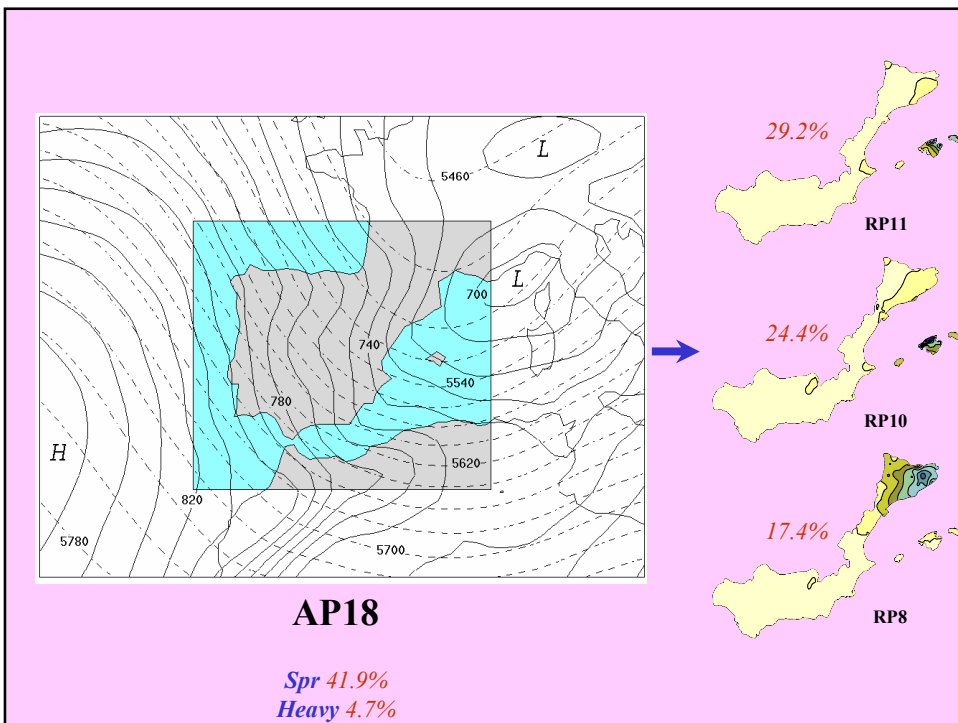












STATISTICAL DOWNSCALING OF THE RAINFALL IN MEDITERRANEAN SPAIN BY THE LATE 21st CENTURY

Combining an AOGCM with the previous cause-effect links

“DOWNSCALING” EN BASE A LOS RESULTADOS PREVIOS

Simulación del clima futuro con un GCM

Modelo ECHAM-OPYC3 aplicado a 1860-2099

- Modelo *T42 ECHAM4*: 19 niveles verticales / 2.8° de resolución horizontal
- Modelo *OPYC3*: 11 niveles verticales / mayor resolución en los trópicos
- 1860-1990: Concentraciones históricas de los gases de E.I.
- Tras 1990: Escenario A (IPCC)

MÉTODO DE
DOWNSCALING

Cambios en la precipitación de la zona mediterránea
a finales del presente siglo ?

ESTRATEGIA

Table II. Percentage frequency of the 11 daily RPs within the 19 APs (in bold, percentages greater than 15%) and seasonal distribution of the APs (in bold, percentages greater than 30%)

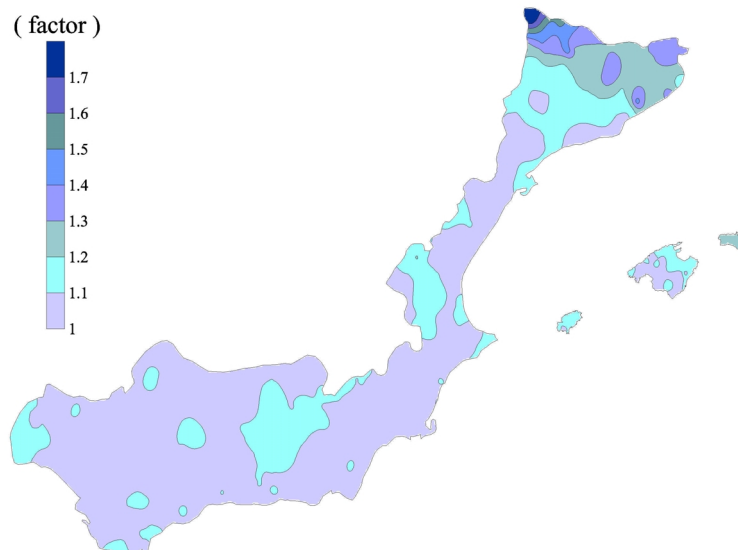
Atmospheric pattern	Number of days	RP1	RP2	RP3	RP4	RP5	RP6	RP7	RPO	RP9	RP10	RP11	Winter	Spring	Summer	Autumn	
AP1		49.0	33.3	0.0	2.0	0.0	0.0	5.9	5.9	2.0	0.0	1.9	43.1	17.6	5.9	33.4	
AP2		46.5	23.9	15.5	0.0	1.4	0.0	0.0	2.8	1.4	4.2	4.3	54.9	18.3	1.4	25.4	
AP3		35.7	36.9	0.0	1.2	4.8	1.2	8.3	8.3	2.4	0.0	1.2	20.2	19.0	6.0	54.8	
AP4		30.5	36.2	4.8	0.0	0.0	1.0	8.6	2.9	12.4	1.9	1.7	25.7	29.5	3.8	41.0	
AP5		22.4	25.9	0.0	12.1	15.5	5.2	8.6	0.0	6.9	1.7	1.7	25.9	36.2	0.0	37.9	
AP6		17.9	15.4	5.1	7.7	21.8	9.0	17.9	3.8	0.0	0.0	1.4	29.5	33.3	9.0	28.2	
AP7		13.0	9.0	25.0	4.0	3.0	2.0	2.0	14.0	25.0	2.0	1.0	22.0	35.0	8.0	35.0	
AP8		2.6	13.2	15.8	1.3	3.9	0.0	10.5	23.7	21.1	6.6	1.3	7.9	42.1	23.7	26.3	
AP9		2.3	8.1	41.9	3.5	0.0	1.2	2.3	16.3	4.7	10.5	9.2	45.3	29.1	9.3	16.3	
AP10		3.6	10.7	0.0	0.0	10.7	14.3	14.3	28.6	3.6	7.1	7.1	46.4	10.7	0.0	42.9	
AP11		1.4	4.4	4.3	2.9	4.3	11.4	11.4	30.0	20.0	7.1	5.8	5.7	30.0	41.4	22.9	
AP12		0.0	0.0	0.0	8.7	0.0	0.0	0.0	4.3	0.0	8.7	4.4	47.8	17.4	0.0	34.8	
AP13		1.5	3.0	0.0	3.0	28.8	40.9	12.1	4.5	1.5	4.5	0.2	53.0	19.7	3.0	24.3	
AP14		3.6	3.6	8.9	3.6	17.9	16.1	21.4	3.6	14.3	3.4	1.6	8.9	35.7	33.9	21.5	
AP15		4.0	8.0	0.0	16.0	20.0	4.0	24.0	0.0	8.0	0.0	8.0	32.0	12.0	40.0		
AP16		4.1	4.1	0.0	9.6	16.4	8.2	6.8	20.5	0.0	17.8	12.5	12.3	28.8	38.4	20.5	
AP17		0.0	3.8	0.0	5.8	9.6	36.5	0.0	1.9	0.0	19.2	23.2	30.8	23.1	15.4	30.7	
AP18		2.3	2.3	8.1	0.0	4.7	7.0	2.3	17.4	2.3	24.4	29.2	26.7	41.9	8.1	23.3	
AP19		0.0	1.1	1.1	4.6	1.1	5.7	1.1	10.3	1.1	37.9	36.0	34.5	40.2	4.6	20.7	
Total		13.7	13.6	8.5	3.8	7.8	9.1	7.5	10.9	7.5	8.3	8.3	28.2	29.9	12.1	29.8	

2080 – 2099
11 décadas móviles

- 1) Mismas relaciones entre APs y RP
- 2) Similar magnitud de la precipitación para cada RP
- 3) Mismo factor $\phi_i = R_i/S_i$ para la obtención de totales

PRECIPITACIÓN FUTURA

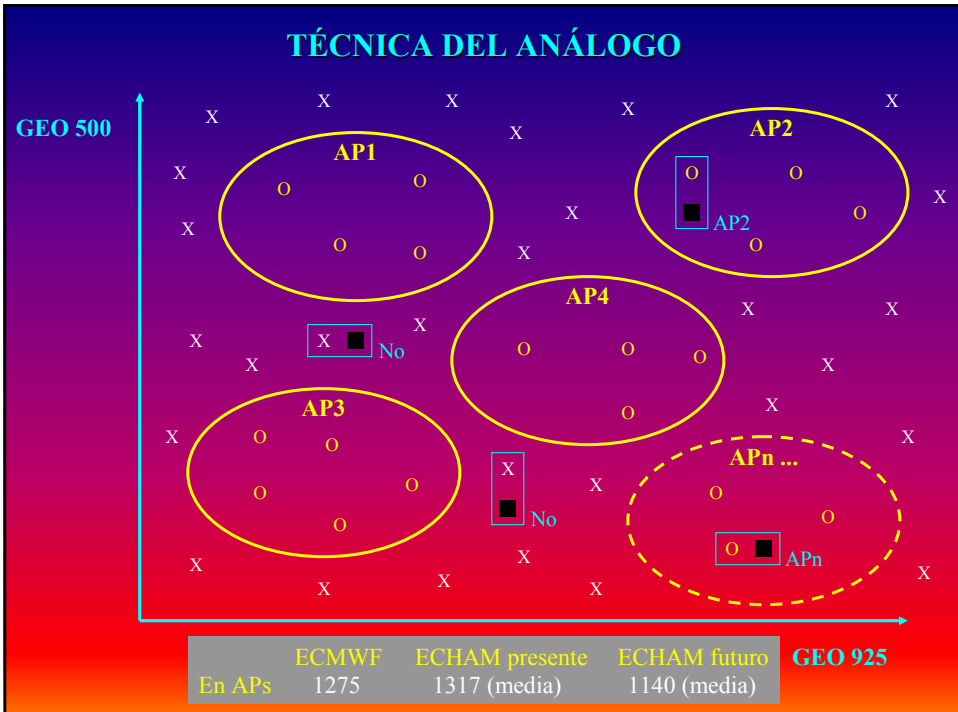
(factor)

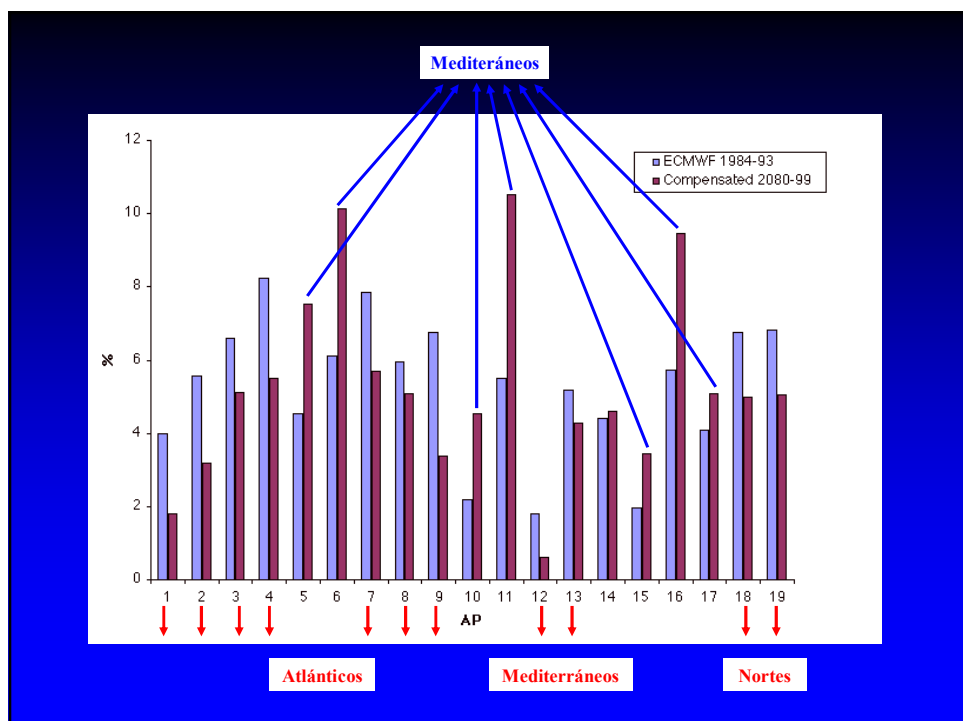
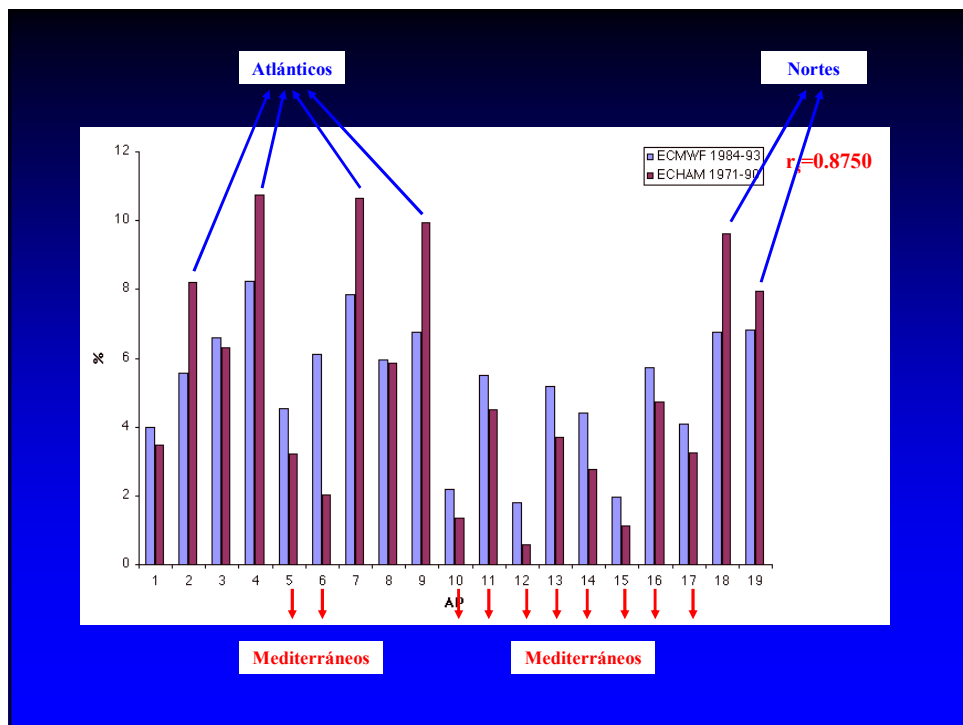


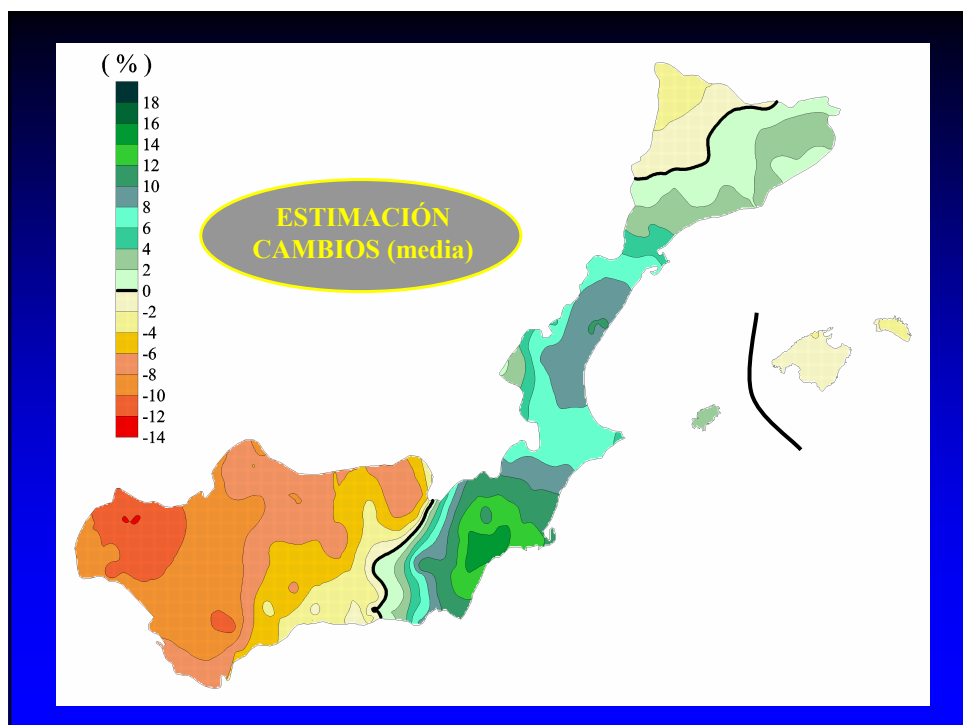
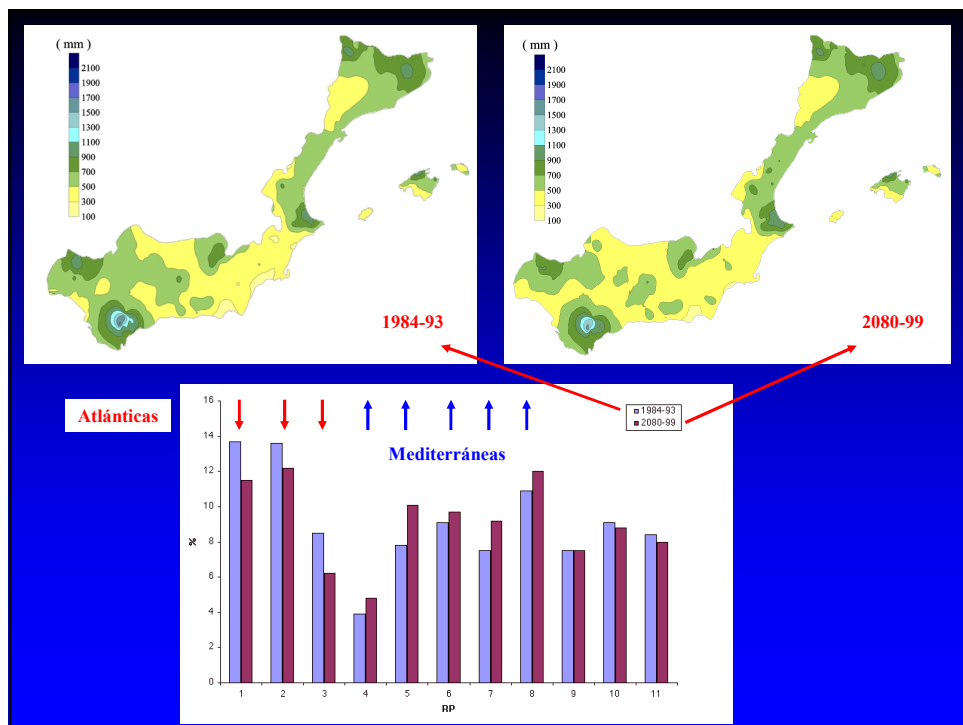
ESTRATEGIA (continuación)

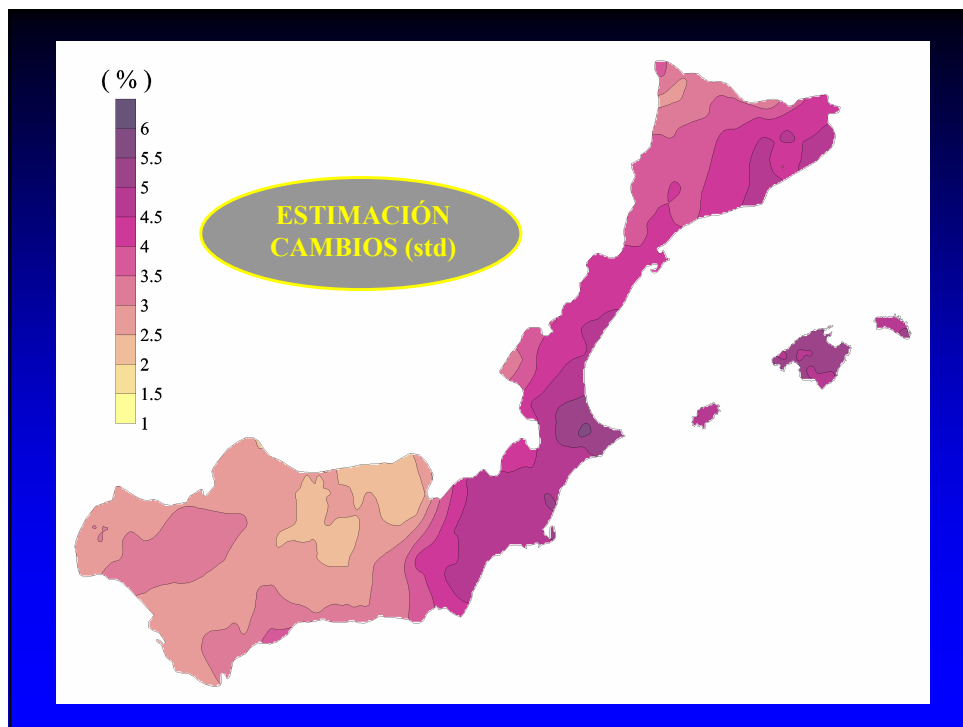
Table II. Percentage frequency of the 11 daily RPs within the 19 APs (in bold, percentages greater than 15%) and seasonal distribution of the APs (in bold, percentages greater than 30%)

Atmospheric pattern	Number of days	RP1	RP2	RP3	RP4	RP5	RP6	RP7	RPO	RP9	RP10	RP11	Winter	Spring	Summer	Autumn
AP1	49.0	33.3	0.0	2.0	0.0	0.0	5.9	5.9	2.0	0.0	1.9	43.1	17.6	5.9	33.4	
AP2	46.5	23.9	15.5	0.0	1.4	0.0	0.0	2.8	1.4	4.2	4.3	54.9	18.3	1.4	25.4	
AP3	35.7	36.9	0.0	1.2	4.8	1.2	8.3	8.3	2.4	0.0	1.2	20.2	19.0	6.0	54.8	
AP4	30.5	36.2	4.8	0.0	0.0	1.0	8.6	2.9	12.4	1.9	1.7	25.7	29.5	3.8	41.0	
AP5	22.4	25.9	0.0	12.1	15.5	5.2	8.6	0.0	6.9	1.7	1.7	25.9	36.2	0.0	37.9	
AP6	17.9	15.4	5.1	7.7	21.8	9.0	17.9	3.8	0.0	0.0	1.4	29.5	33.3	9.0	28.2	
AP7	13.0	9.0	25.0	4.0	3.0	2.0	2.0	14.0	25.0	2.0	1.0	22.0	35.0	8.0	35.0	
AP8	2.6	13.2	15.8	1.3	3.9	0.0	10.5	23.7	21.1	6.6	1.3	7.9	42.1	23.7	26.3	
AP9	2.3	8.1	41.9	3.5	0.0	1.2	2.3	16.3	4.7	10.5	9.2	45.3	29.1	9.3	16.3	
AP10	3.6	10.7	0.0	0.0	10.7	14.3	14.3	28.6	3.6	7.1	7.1	46.4	10.7	0.0	42.9	
AP11	1.4	4.4	4.3	2.9	4.3	11.4	11.4	30.0	20.0	7.1	5.8	5.7	30.0	41.4	22.9	
AP12	0.0	0.0	0.0	8.7	0.0	69.6	0.0	4.2	0.0	8.7	4.4	47.8	17.4	0.0	34.8	
AP13	1.5	3.0	0.0	3.0	28.8	40.9	12.1	4.5	1.5	4.5	0.2	53.0	19.7	3.0	24.3	
AP14	3.6	3.6	8.9	3.6	17.9	16.1	21.4	3.6	14.3	3.4	1.6	8.9	35.7	33.9	21.5	
AP15	4.0	8.0	0.0	16.0	4.0	24.0	0.0	8.0	0.0	8.0	0.0	32.0	12.0	40.0	40.0	
AP16	4.1	4.1	0.0	9.6	16.4	8.2	6.8	20.5	0.0	17.8	12.5	12.3	28.8	38.4	20.5	
AP17	0.0	3.8	0.0	5.8	9.6	36.5	0.0	1.9	0.0	19.2	23.2	30.8	23.1	15.4	30.7	
AP18	2.3	2.3	8.1	0.0	4.7	7.0	2.3	17.4	2.3	24.4	29.2	26.7	41.9	8.1	23.3	
AP19	0.0	1.1	1.1	4.6	1.1	5.7	1.1	10.3	1.1	37.9	36.0	34.5	40.2	4.6	20.7	
Total		13.7	13.6	8.5	3.8	7.8	9.1	7.5	10.9	7.5	8.3	28.2	29.9	12.1	29.8	









ALGUNAS OBSERVACIONES DEL PASADO RECENTE (Guijarro J. A. 2002)

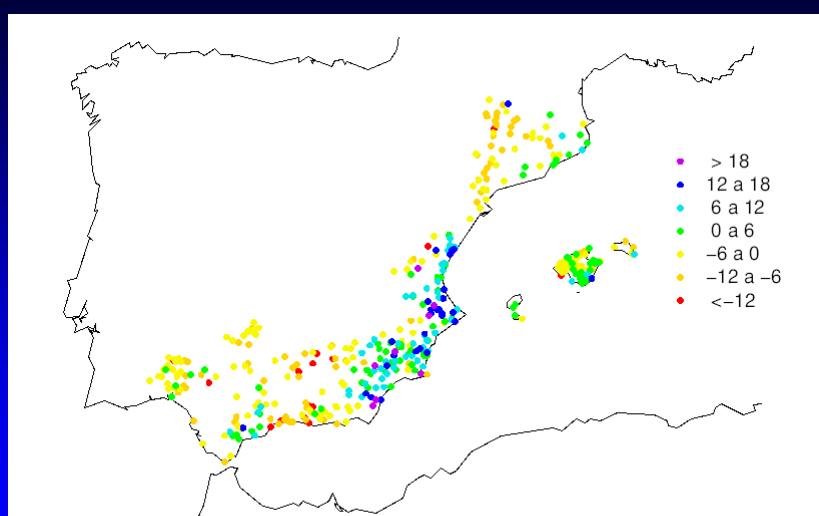


Figura 4: Distribución espacial de las tendencias (% por década) de la precipitación en el área mediterránea española (1964-1993).